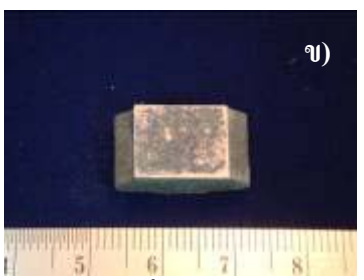
4.1.2 ผลของเวลาต่อรูปร่างและลักษณะพื้นผิวชั้นเคลือบ

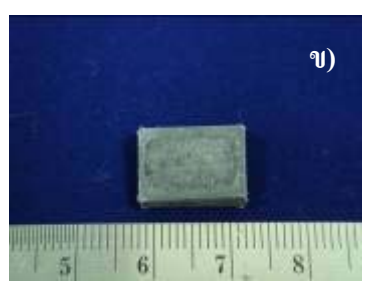
โลหะผสมพิเศษเนื้อพื้นนิกเกิลชนิด IN 738 ที่ผ่านการเคลือบผิว ด้วยอุณหภูมิ 900องศา เซลเซียส เป็นเวลา 1, 2.25, 4 และ 6.25 ชั่วโมง ชิ้นงานหลังจากเคลือบผิวแล้วมีลักษณะภายนอก คล้ายกัน คือ ขนาดของชิ้นงานจะไม่มีการเปลี่ยนแปลง และ ผิวหน้ามีลักษณะหยาบ ดังตัวอย่างใน รูปที่ 4.3 ก.) และ 4.3 ข.)





รูปที่ 4.3 ภาพถ่ายชิ้นงานผ่านการทำอะลูมิในซิงบน IN 738 ที่ 900 ^oC เป็นเวลา ก.) 1 และ ข.) 6.25 ชั่วโมง

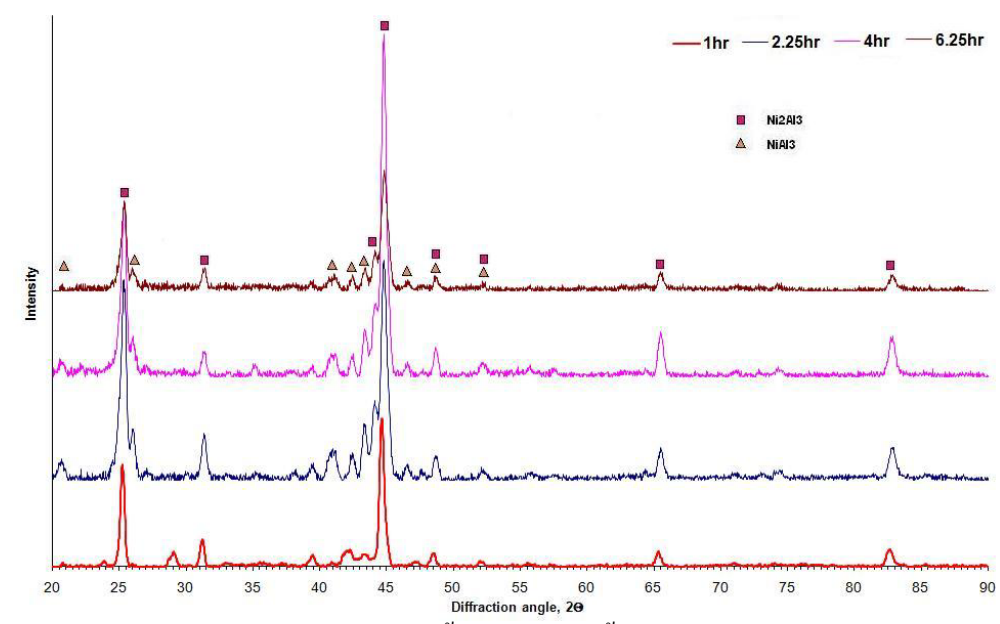




รูปที่ 4.4 ภาพถ่ายชิ้นงานผ่านการทำอะลูมิในซิงบน GTD 111 ที่ 900 $^{\circ}$ C เป็นเวลา ก.) 1 และ ข.) 6.25 ชั่วโมง

ในส่วนของโลหะผสมพิเศษเนื้อพื้นนิกเกิลชนิด GTD 111 ที่ทำการเคลือบผิวที่อุณหภูมิ 900 องศาเซลเซียส เป็นเวลา 1, 2.25, 4 และ 6.25 ชั่วโมง พิจารณารูปที่ 4.4 ก.) และ 4.4 ข.) พบว่า ชิ้นงานมีขนาดคงเดิมและผิวหน้ามีลักษณะหยาบเช่นเดียวกับโลหะผสมพิเศษเนื้อพื้นนิกเกิลชนิด IN 738 ดังนั้นการเพิ่มเวลาในการเคลือบผิวจะไม่ส่งผลต่อขนาดและลักษณะผิวของชิ้นงานหลังจาก ผ่านการเคลือบผิวด้วยวิธีอะลูมิในซิงแบบผงเมื่อใช้อุณหภูมิ 900 องศาเซลเซียสและต่ำกว่า

4.2 ผลการตรวจสอบเชิงคุณภาพของชั้นเคลือบก่อนอบเป็นเนื้อเดียว 4.2.1 ผลการตรวจสอบชั้นเคลือบบนโลหะผสมพิเศษเนื้อพื้นนิกเกิลชนิด IN 738

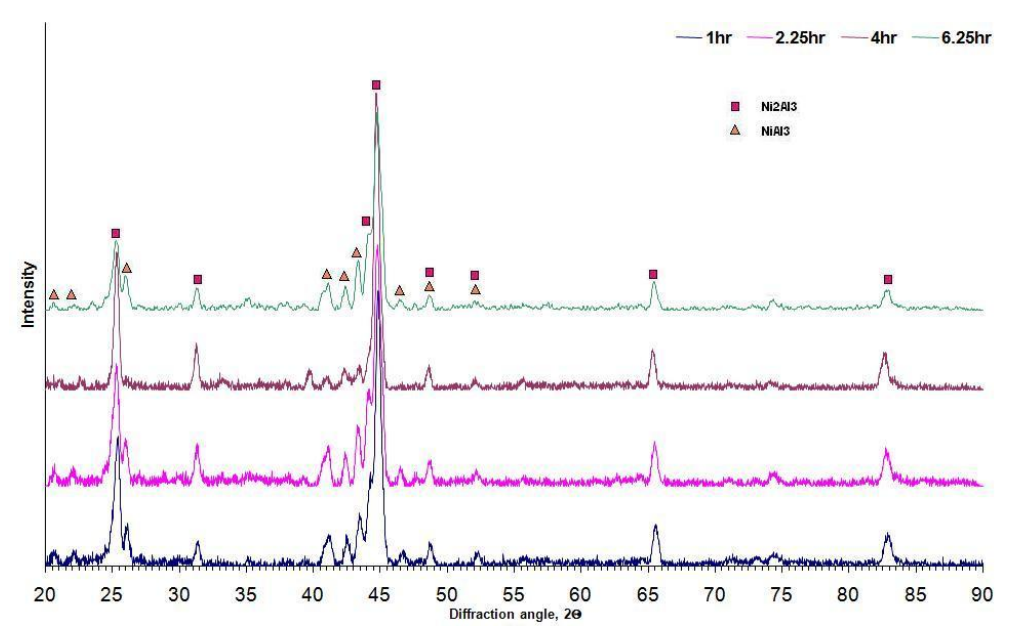


รูปที่ 4.5 ผลการเปรียบเทียบการตรวจสอบชั้นเคลือบของชิ้นงานผ่านการทำอะลูมิในซิงบน IN 738 ที่ 800°C เป็นเวลา 1, 2.25, 4 และ 6.25 ชั่วโมง ด้วยวิธี GIXD

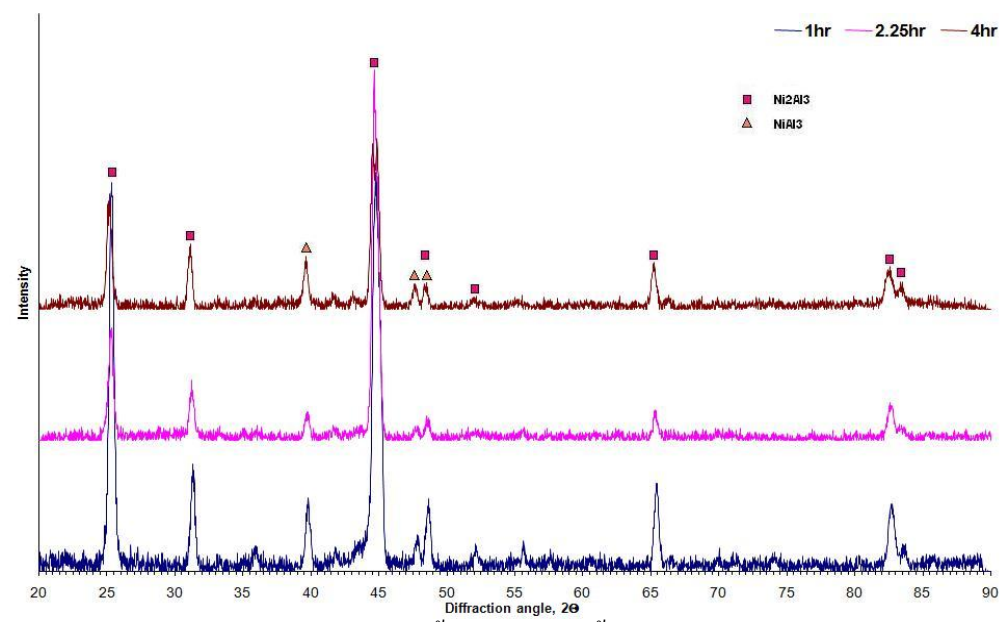
จากรูปที่ 4.5 ผลการตรวจสอบชั้นเคลือบของโลหะผสมพิเศษเนื้อพื้นนิกเกิลด้วย XRDแบบ GIXD ที่มุม 5 องศา เป็นเวลา 1, 2.25, 4 และ 6.25 ชั่วโมง พบว่าชิ้นงานที่ทำการเคลือบผิวที่อุณหภูมิ 800 องศาเซลเซียส เป็นเวลา 1 ชั่วโมง ประกอบด้วยเฟส 2 เฟส คือ เฟส Ni₂Al₃ และ NiAl₃ (JCPDS No. 03-1052 และ 02-0416) โดยความเข้มสัมพัทธ์ของเฟสที่มีความเข้มสัมพัทธ์สูงสุดคือเฟส Ni₂Al₃ จากนั้นเมื่อเพิ่มเวลาของการเคลือบผิวจะเห็นว่าผลของการตรวจสอบด้วย GIXD ที่เกิดขึ้นมี ลักษณะคงเดิม โดยยังคงมีเฟส Ni₂Al₃ มีความเข้มสัมพัทธ์สูงสุด แสดงให้เห็นว่าเฟสหลักที่เกิดขึ้น บริเวณผิวชั้นเคลือบเมื่อทำการเคลือบผิวด้วยอุณหภูมิ 800 องศาเซลเซียสโดยใช้เวลาในการเคลือบ ไม่เกิน 6.25 ชั่วโมงเป็นเฟส Ni₂Al₃

เมื่อทำการตรวจสอบชั้นเคลือบของโลหะผสมพิเศษเนื้อพื้นนิกเกิลชนิค IN 738 ที่ผ่านการ เคลือบผิวที่ 900 องศาเซลเซียส เป็นเวลา 1, 2.25, 4 และ 6.25 ชั่วโมง ด้วย GIXD ที่มุม 5 องศา (รูป ที่ 4.6) พบว่าลักษณะของผลการตรวจสอบของชิ้นงานทั้ง 4 เวลา จะมีลักษณะเป็นไปในทาง เดียวกับชิ้นงานที่ทำการเคลือบผิวที่ 800 องศาเซลเซียส โดยโครงสร้างชั้นเคลือบประกอบด้วย 2 เฟส คือ เฟส Ni_2AI_3 และ $NiAI_3$ (JCPDS No. 03-1052 และ 02-0416) ซึ่งเฟส Ni_2AI_3 จะมีค่าความเข้ม สัมพัทธ์สูงสุด แสดงให้เห็นว่าเฟสหลักที่เกิดขึ้นบริเวณผิวชั้นเคลือบเมื่อทำการเคลือบผิวด้วย อุณหภูมิ 900 องศาเซลเซียส ที่เวลาใช้เวลาในการเคลือบไม่เกิน 6.25 ชั่วโมง เป็นเฟส Ni_2AI_3 เช่นเดียวกัน ซึ่งหากพิจารณาผลการตรวจสอบชั้นเคลือบของทั้งสองอุณหภูมิ จะพบว่าแม้เวลาใน

การเคลือบผิวเพิ่มขึ้น ลักษณะของผลที่ได้มีลักษณะเช่นเดิม โดยเฟสที่เกิดขึ้นจะมี Ni₂Al₃ เป็นเฟส หลักและมี NiAl₃ เป็นเฟสรอง

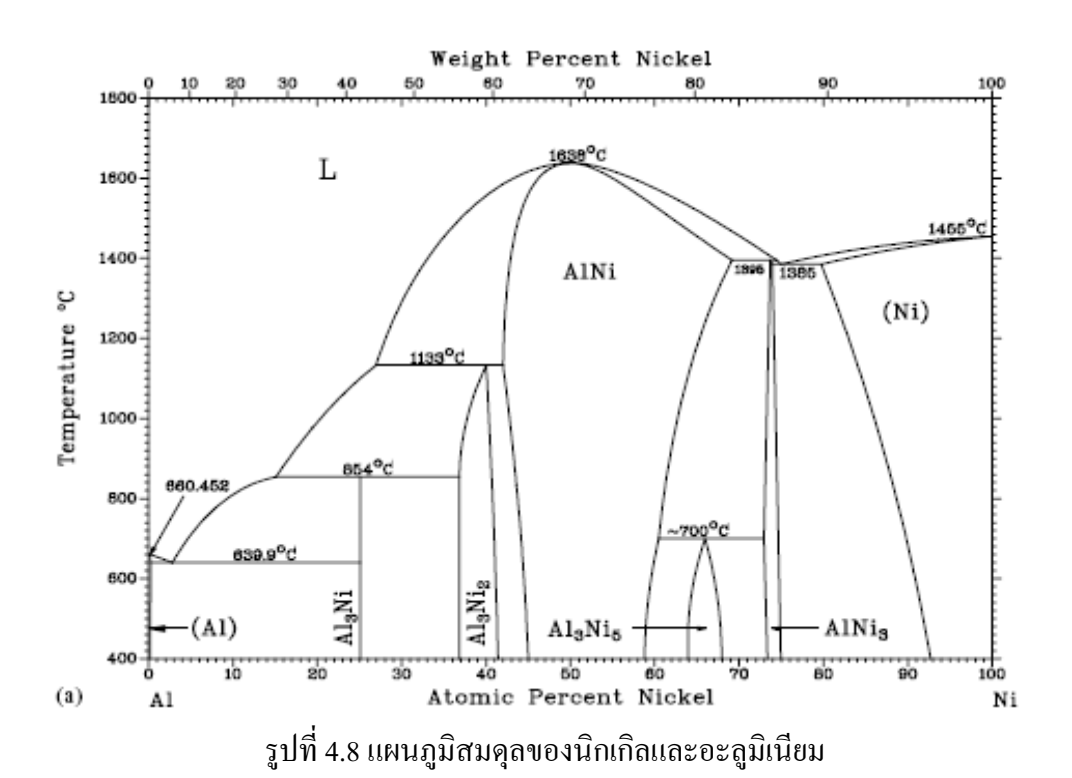


รูปที่ 4.6 ผลการเปรียบเทียบการตรวจสอบชั้นเคลือบของชิ้นงานผ่านการทำอะลูมิในซิงบน IN 738 ที่ 900°C เป็นเวลา 1, 2.25, 4 และ 6.25 ชั่วโมง ด้วยวิธี GIXD



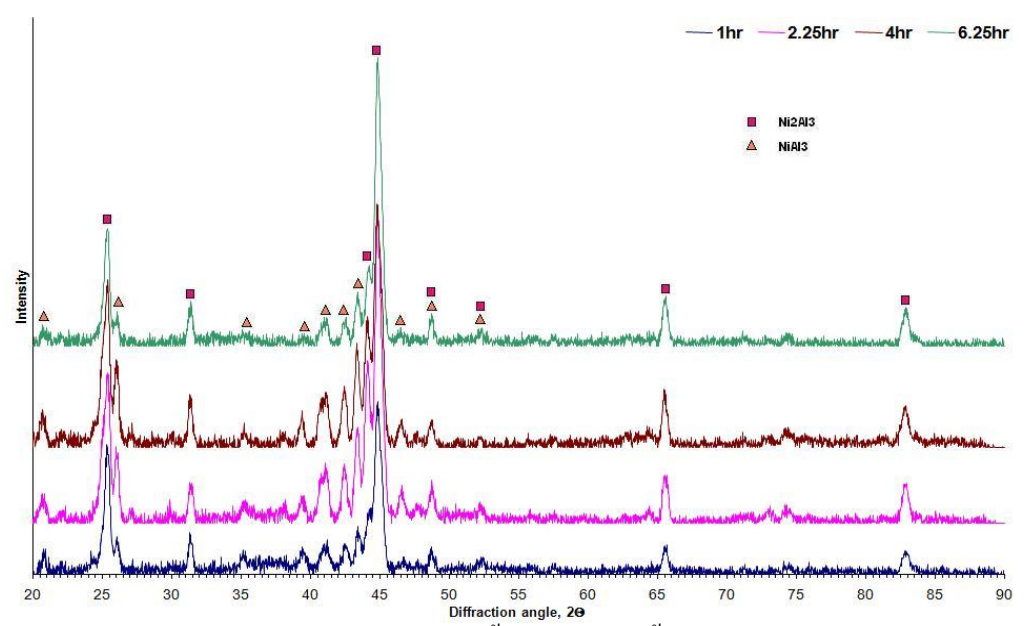
รูปที่ 4.7 ผลการเปรียบเทียบการตรวจสอบชั้นเคลือบของชิ้นงานผ่านการทำอะลูมิในซิงบน IN 738 ที่ 1000°C เป็นเวลา 1, 2.25 และ 4 ชั่วโมง ด้วยวิธี GIXD

สำหรับโลหะผสมพิเศษเนื้อพื้นนิกเกิลชนิด IN 738 ที่ผ่านการเคลือบผิวที่ 1000 องศา เซลเซียส เป็นเวลา 1, 2.25 และ 4 ชั่วโมง เมื่อนำมาทำการตรวจสอบด้วย GIXD ที่มุม 5 องศา จะ พบเฟส 2 เฟส คือเฟส Ni₂AI₃ และเฟส NiAI₃โดยพบว่าเฟสที่มีความเข้มสัมพัทธ์สูงสุดคือ เฟส Ni₂AI₃ เช่นกัน (รูปที่ 4.7) แต่เมื่อพิจารณาความเข้มสัมพัทธ์ของชิ้นงานโดยเปรียบเทียบกับชิ้นงานที่ ทำการเคลือบผิวที่ 800 และ 900 องสาเซลเซียส พบว่า ค่าความเข้มสัมพัทธ์ของพีคของเฟส NiAI₃ ลดลง แสดงให้เห็นว่าเฟสหลักที่เกิดขึ้นในชั้นเคลือบหลังจากผ่านการเคลือบผิวด้วยวิธีอะลูมิในชิ งแบบผงที่อุณหภูมิ 1000 องสาเซลเซียส คือ Ni₂AI₃ และมีปริมาณของเฟส NiAI₃ ลดลงอย่างเห็นได้ ชัด ซึ่งจากแผนภูมิสมดุลของนิกเกิลและอะลูมิเนียมในรูปที่ 4.8 จะพบว่าเฟส NiAI₃ ไม่เสถียรที่ อุณหภูมิสูงกว่า 854 องสาเซลเซียส ดังนั้นเมื่อทำการเคลือบผิวชิ้นงานที่อุณหภูมิ 1000 องสา เซลเซียส ทำให้มีเฟส Ni₂AI₃ เป็นหลัก และพบเฟส NiAI₃ เล็กน้อยซึ่งอาจเกิดระหว่างการเย็นตัว ดัง จะเห็นได้จากความเข้มสัมพัทธ์ของเฟส NiAI₃ มีค่าลดลงมากเมื่อเทียบกับชิ้นงานที่ทำการเคลือบผิว ที่ 800 และ 900 องสาเซลเซียส จึงกล่าวได้ว่า สารประกอบ NiAI₃ จึงมีปริมาณลดลงเมื่อใช้อุณหภูมิ สูงขึ้น โดยเมื่ออุณหภูมิสูงกว่า 854 องสาเซลเซียสจึงไม่สามารถเกิดเฟส NiAI₃ ได้ อย่างไรก็ตามเฟส NiAI₃ ที่พบอาจเกิดขึ้นระหว่างการเย็นตัวของชิ้นงานหลังจากการเคลือบซึ่งเย็นตัวลงอย่างช้าๆ ภายในเตา จึงทำให้ยังคงพบสารประกอบ NiAI₃ ได้ในชิ้นงานที่ผ่านการทำอะลูมิในซิงแบบผงที่ อุณหภูมิสูงกว่า 854 องสาเซลเซียส



4.2.2 ผลการตรวจสอบชั้นเคลื่อบบนโลหะผสมพิเศษเนื้อพื้นนิกเกิลชนิด GTD 111

เนื่องจากผลการตรวจสอบรูปร่างและลักษณะพื้นผิวของโลหะผสมพิเศษเนื้อพื้นนิกเกิล ชนิด IN 738 ที่ผ่านการเคลือบผิวที่ 800, 900 และ 1000 องศาเซลเซียส เป็นเวลาต่างๆ แสดงให้ เห็นว่า ชิ้นงานที่ทำการเคลือบผิวที่อุณหภูมิ 1000 องศาเซลเซียส จะมีลักษณะชั้นเคลือบที่หนา มี การแตกและหลุดร่อนได้ง่าย ดังนั้นจึงได้ทำการศึกษาชั้นเคลือบของโลหะผสมพิเศษเนื้อพื้นนิกเกิล ชนิด GTD 111 ที่อุณหภูมิเดียว คือ 900 องศาเซลเซียส เป็นเวลาต่างๆ จากนั้นเมื่อนำมาตรวจสอบ ชั้นเคลือบด้วย GIXD ที่มุม 5 องศา ได้ผลดังรูปที่ 4.9 ผลที่ได้แสดงให้เห็นว่า มีลักษณะคล้ายกับผล การตรวจสอบที่ได้จากโลหะผสมพิเศษเนื้อพื้นนิกเกิลชนิด IN 738 ที่ผ่านการเคลือบผิวด้วยอุณหภูมิ 900 องศาเซลเซียส โดยชั้นเคลือบประกอบด้วยเฟส 2 เฟส คือ เฟส Ni_2AI_3 และ $NiAI_3$ (JCPDS No. 03-1052 และ 02-0416) และโดยเฟส Ni_2AI_3 มีค่าความเข้มสัมพัทธ์สูงที่สุด แสดงว่า เฟสหลักที่ เกิดขึ้นบริเวณผิวชั้นเคลือบเมื่อทำการเคลือบผิวด้วยอุณหภูมิ 900 องศาเซลเซียส ที่เวลาต่างๆ เป็น เฟส Ni_2AI_3



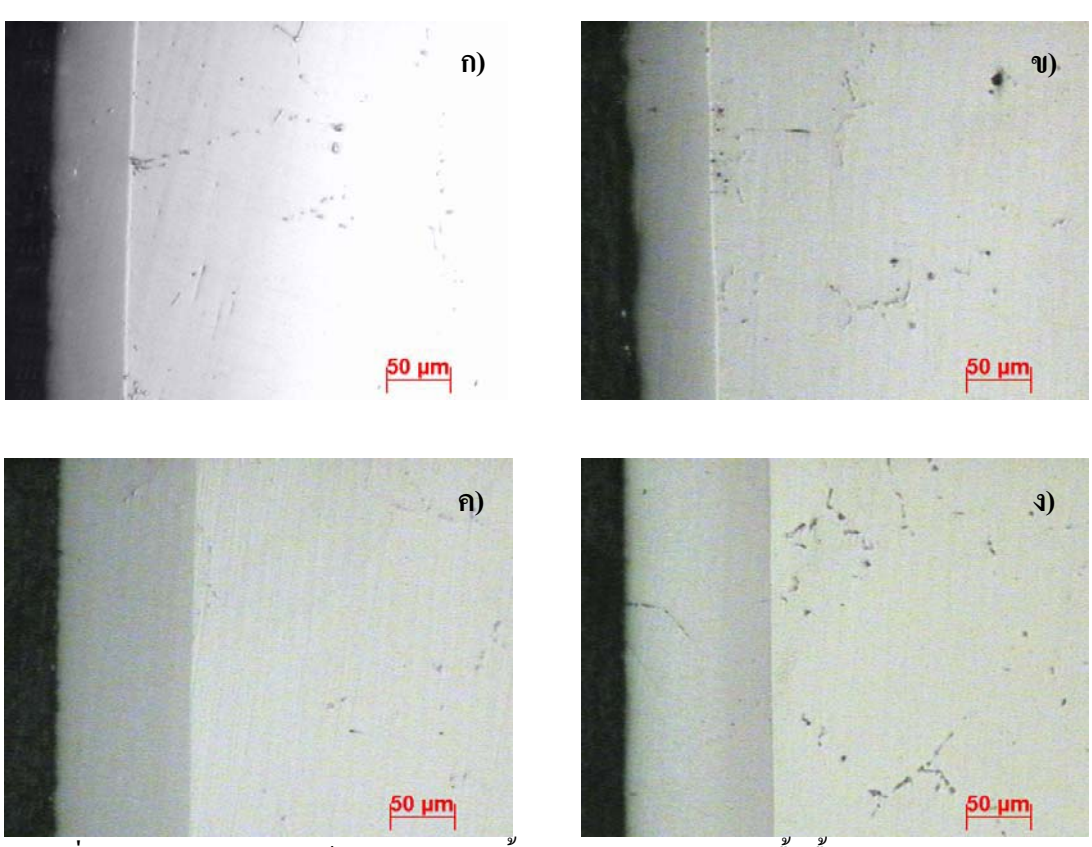
รูปที่ 4.9 ผลการเปรียบเทียบการตรวจสอบชั้นเคลือบของชิ้นงานผ่านการทำอะลูมิในซิงบน GTD 111 ที่ 900°C เป็นเวลา 1, 2.25, 4 และ 6 ชั่วโมง ด้วยวิธี GIXD

เฟสที่เกิดขึ้นในชั้นเคลือบของโลหะผสมพิเศษเนื้อพื้นนิกเกิลชนิด GTD 111 มีลักษณะ คล้ายกับโลหะผสมพิเศษเนื้อพื้นนิกเกิลชนิด IN 738 กล่าวคือ เกิดสารประกอบเฟส Ni₂Al₃ เป็น หลักและพบ NiAl₃ เนื่องจากโลหะผสมพิเศษทั้งสองชนิดมีส่วนผสมหลักคือ นิกเกิลในปริมาณที่ ใกล้เคียงกันจึงเกิดเฟสนิกเกิลอะลูมิในค์เป็นหลักเช่นเดียวกัน และเกิดเฟส เฟส Ni₂Al₃ เป็นหลัก เนื่องจากเฟส NiAl₃ นั้นไม่เสถียรที่อุณหภูมิสูงกว่า 854 องศาเซลเซียส แต่อาจเกิดขึ้นเฟส NiAl₃ ขึ้น ระหว่างการเย็นตัวเช่นเดียวกับที่อธิบายไว้ในหัวข้อ 4.2.1 ส่วนสารประกอบอื่นที่เกิดขึ้นก็มีลักษณะ ไม่แตกต่างจากโลหะผสมพิเศษเนื้อพื้นนิกเกิลชนิด IN 738 เนื่องจากมีธาตุผสมทางเคมีที่คล้ายกัน และมีปริมาณใกล้เคียงกัน จึงทำให้เมื่อทำการเคลือบผิวที่อุณหภูมิเดียวกัน พืกที่เกิดขึ้นมีลักษณะ เหมือนกัน

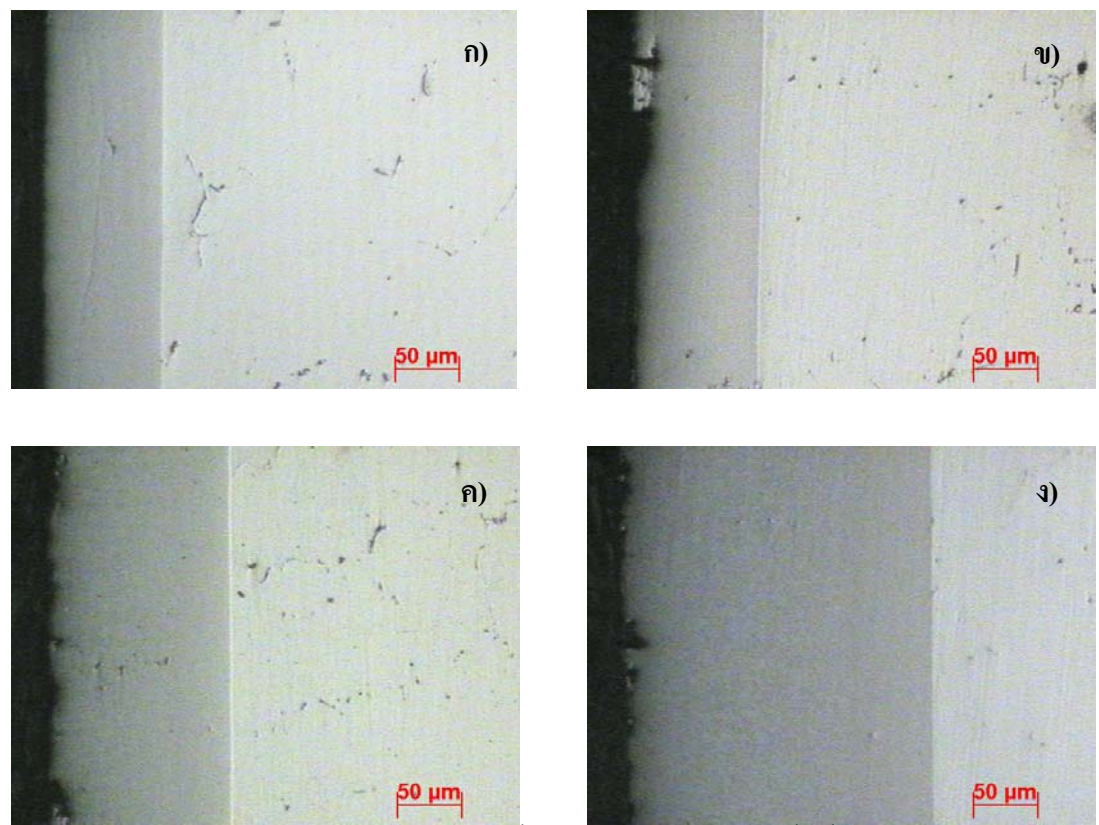
4.3 ผลการตรวจสอบโครงสร้างจุลภาคของชั้นเคลือบก่อนอบเป็นเนื้อเดียว

4.3.1 โครงสร้างจุลภาคของชั้นเคลือบบนโลหะผสมพิเศษเนื้อพื้นนิกเกิลชนิด IN 738

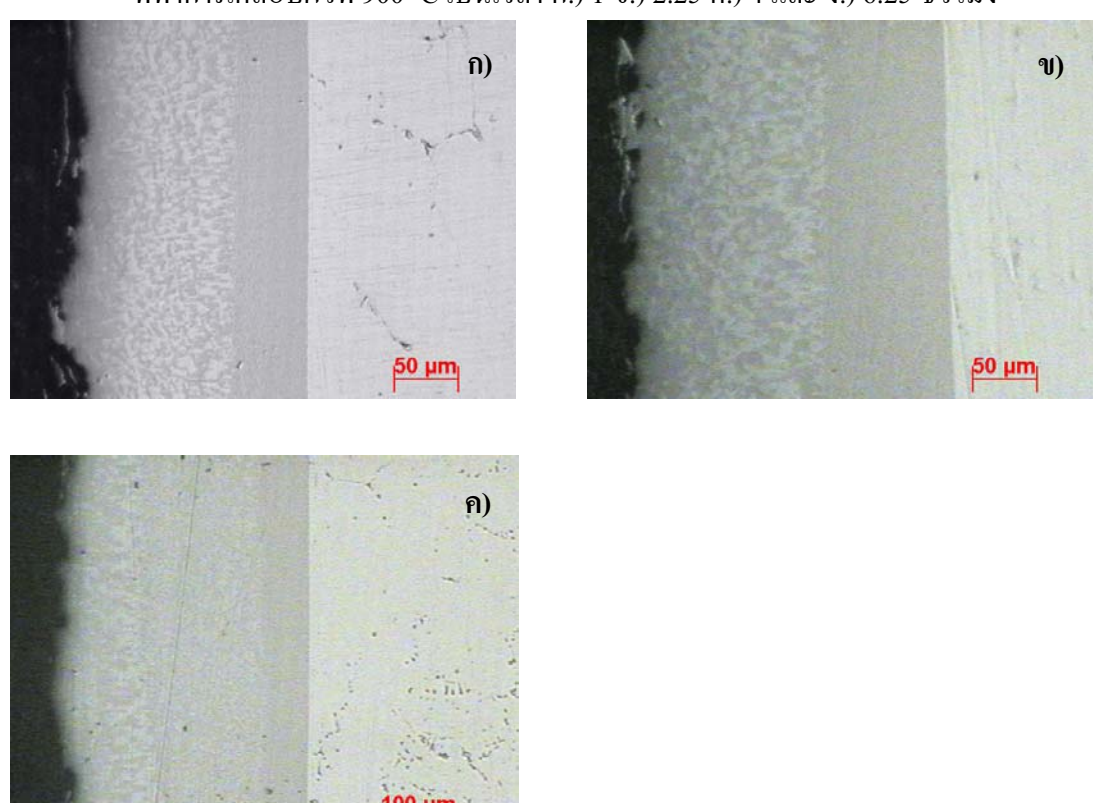
เมื่อนำโลหะผสมพิเศษเนื้อพื้นนิกเกิลชนิด IN 738 ที่ทำการเคลือบผิวด้วยอุณหภูมิ 800 องศาเซลเซียส เป็นเวลา 1, 2.25, 4 และ 6.25 ชั่วโมง ตรวจสอบโครงสร้างจุลภาคของชั้นเคลือบใน ภาคตัดขวางด้วยกล้อง Optical Microscope จะเห็นว่าชิ้นงานที่ทำการเคลือบผิวที่ 800 900 และ 1000 องศาเซลเซียส ด้วยเวลาต่างๆ ลักษณะชั้นเคลือบสามารถแบ่งได้เป็น 2 ส่วน คือ ชั้นเคลือบ ด้านนอกจะมีสีเทาเข้มและสีเทาอ่อนขนาดเล็กสลับกัน และชั้นเคลือบด้านในจะมีสีเทาเข้ม ดังรูปที่ 4.10 4.11และ 4.12 ตามลำดับ



รูปที่ 4.10 ภาพถ่ายโครงสร้างบริเวณกลางชิ้นงานโลหะผสมพิเศษเนื้อพื้นนิกเกิลชนิด IN 738 ที่ทำการเคลือบผิวที่ $800\,^{\circ}$ C เป็นเวลา ก.) 1 ข.) 2.25 ค.) 4 และ ง.) 6.25 ชั่วโมง



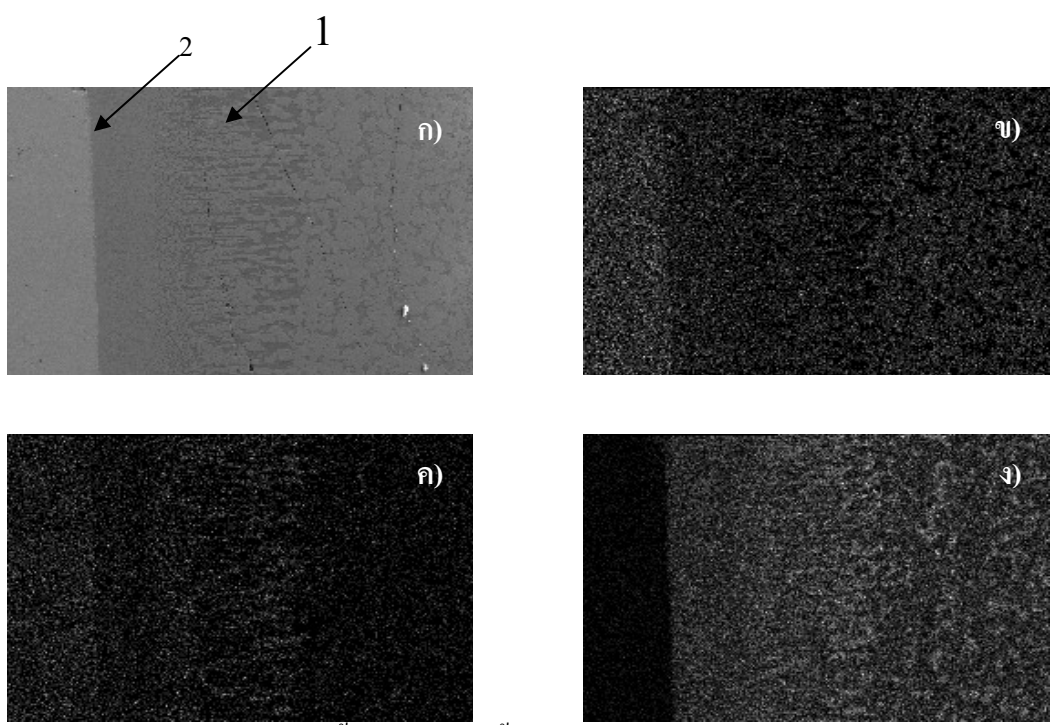
รูปที่ 4.11 ภาพถ่ายโครงสร้างบริเวณกลางชิ้นงานโลหะผสมพิเศษเนื้อพื้นนิกเกิลชนิด IN 738 ที่ทำการเคลือบผิวที่ 900 °C เป็นเวลา ก.) 1 ข.) 2.25 ค.) 4 และ ง.) 6.25 ชั่วโมง



รูปที่ 4.12 ภาพถ่ายโครงสร้างบริเวณกลางชิ้นงานโลหะผสมพิเศษเนื้อพื้นนิกเกิลชนิค IN 738 ที่ทำการเคลือบผิวที่ 1000 °C เป็นเวลา ก.) 1 ข.) 2.25 และ ค.) 4 ชั่วโมง

ในชิ้นงานที่ผ่านการเคลือบผิวที่อุณหภูมิ 1000 องศาเซลเซียส มีปริมาณส่วนสีเทาอ่อนมาก ขึ้นและเห็นได้ชัดเจนกว่าชิ้นงานที่ทำการเคลือบผิวที่ 800 และ 900 องศาเซลเซียส ในส่วนของ บริเวณชั้นเคลือบด้านในจะมีสีเทาเข้มเช่นเดียวกัน และเมื่อเวลาในการเคลือบผิวเพิ่มขึ้นบริเวณที่มีสี เทาเข้มสลับสีเทาอ่อนจะเพิ่มขึ้น

จากผลการตรวจสอบโครงสร้างจุลภาคตัดขวาง พบว่า เวลาที่ใช้ในการเคลือบผิว จะไม่มี ผลต่อลักษณะชั้นเคลือบมากนัก กล่าวคือ ชั้นเคลือบประกอบด้วยสองเฟส คือ เฟส Ni₂AI₃ และ NiAI₃ โดยการเพิ่มเวลาขึ้นในแต่ละอุณหภูมิยังคงได้เฟสที่พบในโครงสร้างจุลภาคไม่แตกต่างกันแต่ จะได้ความหนาชั้นเคลือบที่แตกต่างกันซึ่งสอดคล้องกับผลการตรวจสอบชั้นเคลือบด้วยวิธี XRD แบบ GIXD ที่พีคของชิ้นงานที่เคลือบผิวในแต่ละอุณหภูมิมีลักษณะเหมือนกัน แม้เวลาในการ เคลือบผิวจะแตกต่างกัน

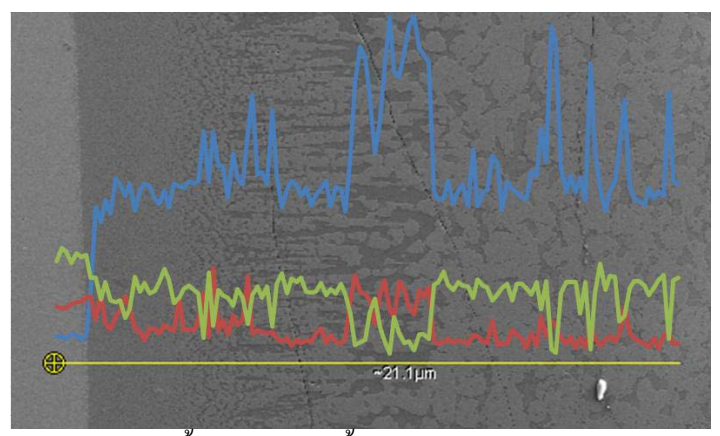


รูปที่ 4.13 ผลการตรวจสอบชั้นเคลือบของชิ้นงานชนิด IN 738 ที่ทำการเคลือบผิวที่ 1000°C เป็นเวลา 4 ชั่วโมง ด้วยวิธี Mapping EDS ก.) SEM ข.) นิกเกิล ค.) โครเมียม และ ง.)อะลูมิเนียม

ในขณะที่อุณหภูมิในการเคลือบผิวจะมีผลต่อลักษณะชั้นเคลือบ คือ ที่อุณหภูมิ 1000 องศา เซลเซียส ชั้นเคลือบค้านนอกจะมีโครงสร้างสีเทาเข้มและสีเทาอ่อนที่มีขนาดใหญ่กว่าโครงสร้าง จุลภาคที่ใค้จากการเคลือบผิวที่อุณหภูมิ 800 และ 900 องศาเซลเซียส กล่าวคือ ขนาดเกรนแต่ละเฟส มีขนาดใหญ่ขึ้นเนื่องจากอุณหภูมิที่ใช้ในการทำอะลูมิในซิงที่สูงขึ้น และ ช่วงการเย็นตัวจาก อุณหภูมิอะลูมิในซิงถึงอุณหภูมิห้องภายในเตา ซึ่งที่อุณหภูมิอะลูมิในซิงสูงจะนานกว่าที่อุณหภูมิ อะลูมิในซิงต่ำ อย่างไรก็ตามจากผลการตรวจสอบด้วย XRD แบบ GIXD ในรูปที่ 4.5-4.7 แสดงให้ เห็นว่าเฟสที่เกิดขึ้นยังคงเป็นเฟส Ni₂Al, และ NiAl, ทั้งที่การเคลือบผิวที่อุณหภูมิ 800, 900 และ

1000 องศาเซลเซียส จึงได้เลือกชิ้นงานที่ทำการเคลือบผิวที่อุณหภูมิ 1000 องศาเซลเซียส เป็นเวลา 4 ชั่วโมง เพื่อตรวจสอบเชิงปริมาณของธาตุต่างๆในโครงสร้างจุลภาคของชั้น โดยได้ทำการ ตรวจสอบเฟสสีเทาเข้มและสีเทาอ่อนในโครงสร้างจุลภาคตัดขวางด้วยวิธี EDS แสดงผลแบบ Mapping ในรูปที่ 4.13 จากผลการตรวจสอบพบว่า บริเวณหมายเลข 1 (สีเทาเข้ม) จะมีปริมาณของ นิกเกิลน้อยกว่าบริเวณหมายเลข 2 (สีเทาอ่อน)ในขณะที่ปริมาณอะลูมิเนียมและโครเมียมบริเวณ หมายเลข 1 จะมีมากกว่าบริเวณหมายเลข 2

หลังจากนั้นทำการตรวจสอบด้วยวิธี EDS แบบ Linescan พบว่า ผลที่ได้มีลักษณะ เหมือนกัน คือ ปริมาณนิกเกิลจะมีมากที่บริเวณเนื้อพื้น และมีค่าลดลงในบริเวณชั้นเคลือบหมายเลข 2 (สีเทาอ่อน) และหมายเลข 1 (สีเทาเข้ม) ตามลำดับ ในขณะที่ปริมาณของอะลูมิเนียมจะมีจำนวน มากที่สุดในบริเวณที่มีสีเทาเข้ม และจะมีปริมาณลดลงในบริเวณเทาอ่อนและเนื้อพื้นตามลำดับ และ ปริมาณของโครเมียมจะมีมากในบริเวณชั้นเคลือบที่มีสีเทาเข้ม (รูปที่ 4.14)



รูปที่ 4.14 ผลการตรวจสอบชั้นเคลือบของชิ้นงานผ่านการทำอะลูมิในซึงบนโลหะนิกเกิล ชนิค IN 738 ที่ 1000 °C เป็นเวลา 4 ชั่วโมง ด้วยวิธี EDS แบบ Linescan (สีฟ้า-อะลูมิเนียม, สีเหลือง-นิกเกิล, สีแคง-โครเมียม)

จากผลของลักษณะชั้นเคลือบของชิ้นงานที่ทำการเคลือบผิวด้วยอุณหภูมิ 1000 องศา เซลเซียสเป็นเวลา 4 ชั่วโมง บริเวณชั้นเคลือบด้านนอกจะมีปริมาณของชั้นเคลือบสีเทาเข้ม (หมายเลข1) จำนวนมาก และเมื่อตรวจสอบปริมาณนิกเกิลในชั้นเคลือบสีเทาเข้ม (หมายเลข 1) ก็ พบว่ามีปริมาณที่น้อยกว่าชั้นเคลือบสีเทาอ่อน (หมายเลข 2) ในขณะที่ปริมาณอะลูมิเนียมในชั้น เคลือบสีเทาเข้ม (หมายเลข 1) มีปริมาณสูงกว่าชั้นเคลือบสีเทาอ่อน (หมายเลข 2) ดังนั้น บริเวณชั้น เคลือบด้านนอกจึงมีโครงสร้างเป็นเฟส NiAl, และ ชั้นเคลือบด้านในจะมีโครงสร้างเป็นเฟส Ni₂Al, ซึ่งเมื่อตรวจสอบด้วย XRD แบบ GIXD จึงพบพีคของ 2 เฟส คือ เฟส Ni₂Al, และ NiAl, นอกจากนี้ การตรวจสอบในรูปที่ 4.14 พบว่าในเฟส NiAl, มีปริมาณโครเมียมผสมอยู่ และจากผล XRD ไม่พบ พีคของโครเมียมอะลูมิในด์ จึงสรุปได้ว่าโครเมียมละลายอยู่ในเฟส NiAl, โดยไม่ตกผลึกออกมา เป็นสารประกอบโครเมียมอะลูมิในด์

เนื่องจากลักษณะชั้นเคลือบของโลหะผสมพิเศษเนื้อพื้นนิกเกิลชนิด IN 738 ที่ทำการ เคลือบผิวด้วยอุณหภูมิ 800 และ 900 องศาเซลเซียส มีลักษณะที่เหมือนกับลักษณะชั้นเคลือบของ ชิ้นงานที่ทำการเคลือบผิวที่ 1000 องศาเซลเซียส จึงอาจกล่าวได้ว่า บริเวณชั้นเคลือบด้านนอกจึงมี โครงสร้างเป็นเฟส NiAl, และ ชั้นเคลือบด้านในจะมีโครงสร้างเป็นเฟส Ni $_2$ Al, ซึ่งเมื่อตรวจสอบ ด้วย XRD แบบ GIXD จึงพบพีคของ 2 เฟส คือ เฟส Ni $_2$ Al, และ NiAl, เช่นเดียวกัน

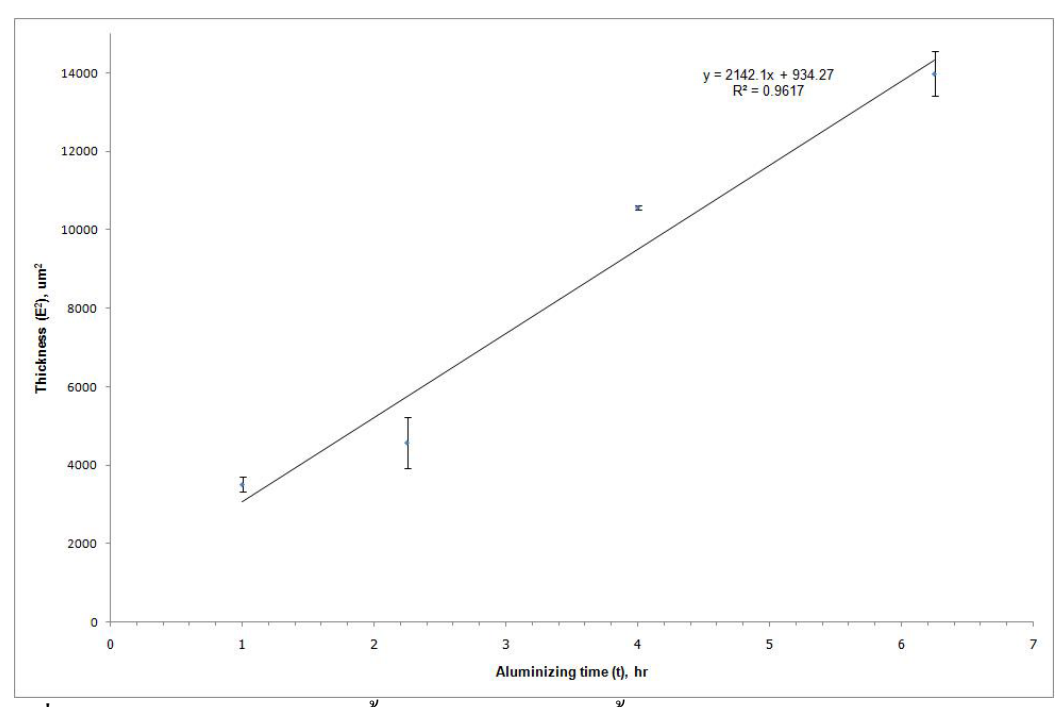
4.4 ผลการตรวจสอบความหนาชั้นเคลื่อบ

4.4.1 ความหนาชั้นเคลือบบนโลหะผสมพิเศษเนื้อพื้นนิกเกิลชนิด IN 738

เมื่อนำโลหะผสมพิเศษเนื้อพื้นนิกเกิลชนิด IN 738 ที่ทำการเคลือบผิวด้วยอุณหภูมิ 800 องศาเซลเซียส เป็นเวลา 1, 2.25, 4 และ 6.25 ชั่วโมง มาทำการวัดความหนาชั้นเคลือบ จะพบว่าเมื่อ เวลาในการเคลือบผิวเพิ่มขึ้น จะส่งผลให้ความหนาของชั้นเคลือบเพิ่มขึ้น โดยจะมีค่าความหนา เฉลี่ยเป็น 59.23, 67.55, 102.86 และ 118.25 µm ตามลำดับ (ตารางที่ 4.1) จากนั้นเมื่อเขียนกราฟ ระหว่างค่าความหนาชั้นเคลือบยกกำลังสองต่อเวลาในการทำการเคลือบผิว พบว่าจะได้กราฟที่มี แนวโน้มเป็นเส้นตรงดังรูปที่ 4.21 โดยความชั้นของกราฟที่ได้จะมีค่าเท่ากับ 2142.1

ตารางที่ 4.1 แสดงความหนาชั้นเคลือบของชิ้นงานผ่านการทำอะลูมิในซิงบน IN 738 ที่อุณหภูมิ 800° C เป็นเวลา 2.25, 4 และ 6.25 ชั่วโมง

เวลาที่ใช้ในการเคลือบผิว (ชั่วโมง)	ความหนาของชั้นเคลื่อบ (µm)	SD
1.00	59.23	1.57
2.25	67.55	4.66
4.00	102.86	0.26
6.25	118.25	2.41

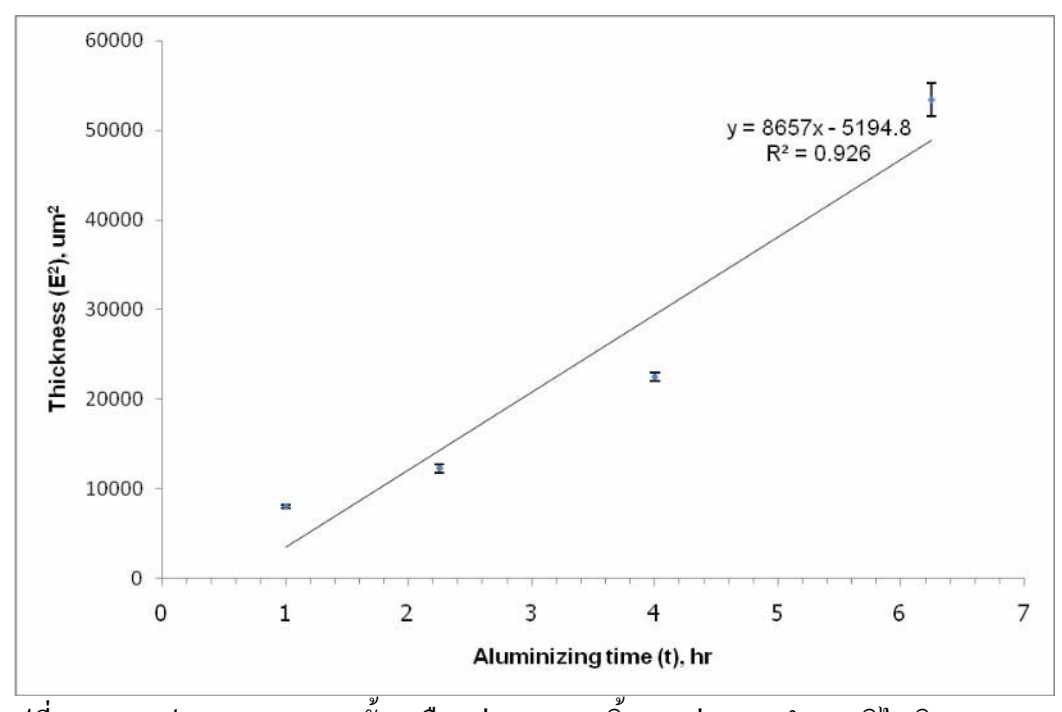


รูปที่ 4.21 กราฟแสดงความหนาชั้นเคลือบต่อเวลาของชิ้นงานผ่านการทำอะลูมิในซิงบน IN 738 ที่อุณหภูมิ $800^{\circ}\mathrm{C}$

จากนั้นทำการตรวจสอบความหนาของโลหะผสมพิเศษเนื้อพื้นนิกเกิลชนิด IN 738 ที่ทำ การเคลือบผิวด้วยอุณหภูมิ 900 องศาเซลเซียส เป็นเวลา 1, 2.25, 4 และ 6.25 ชั่วโมง พบว่า เมื่อเวลา ในการเคลือบผิวเพิ่มขึ้น จะมีค่าความหนาเฉลี่ยเพิ่มขึ้นเช่นเดียวกับโลหะผสมพิเศษเนื้อพื้นนิกเกิล ชนิด IN 738 ที่ทำการเคลือบผิวด้วยอุณหภูมิ 800 องศาเซลเซียส โดยจะมีความหนาเฉลี่ยเป็น 89.41, 110.71, 149.85 และ 231.02 µm ตามลำดับ (ตารางที่ 4.2) และเมื่อเขียนกราฟระหว่างค่าความหนา ชั้นเคลือบยกกำลังสองและเวลาที่ใช้ในการเคลือบผิว จะพบว่า กราฟที่ได้มีแนวโน้มเป็นเส้นตรง เช่นเดียวกัน ดังแสดงในรูปที่ 4.22 โดยความชันของกราฟ มีค่า เท่ากับ 8657

ตารางที่ 4.2 แสดงความหนาชั้นเคลือบของชิ้นงานผ่านการทำอะลูมิในซิงบน IN 738 ที่อุณหภูมิ 900° C เป็นเวลา 1, 2.25, 4 และ 6.25 ชั่ว โมง

ч ч		
เวลาที่ใช้ในการเคลือบผิว (ชั่วโมง)	ความหนาของชั้นเคลือบ (µm)	SD
1.00	89.41	1.07
2.25	110.71	2.14
4.00	149.85	1.68
6.25	231.02	3.98

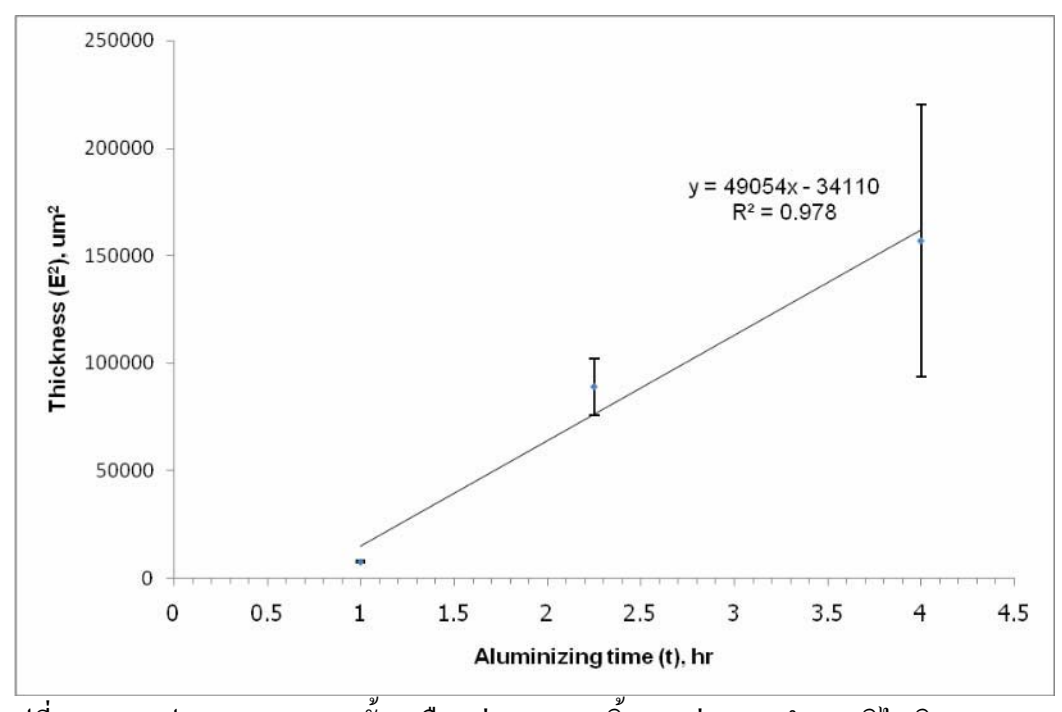


รูปที่ 4.22 กราฟแสดงความหนาชั้นเคลือบต่อเวลาของชิ้นงานผ่านการทำอะลูมิในซิงบน IN 738 ที่อุณหภูมิ 900°C

ในส่วนของโลหะผสมพิเศษเนื้อพื้นนิกเกิลชนิด IN 738 ที่ทำการเคลือบผิวด้วยอุณหภูมิ 1000 องศาเซลเซียส เป็นเวลา 1, 2.25 และ 4 ชั่วโมง เมื่อทำการตัดชิ้นงานแล้ววัดความหนา จะได้ว่า ค่าความหนาเฉลี่ยของชั้นเคลือบจะเพิ่มขึ้น เมื่อเวลาในการเคลือบผิวเพิ่มขึ้น ซึ่งค่าความหนาเฉลี่ยที่ ตรวจสอบได้มีค่าเท่ากับ 86.65, 297.68 และ 389.56 µm ตามลำดับ ดังตารางที่ 4.3 จากนั้นเมื่อนำค่า ความหนาเฉลี่ยยกกำลังสองและเวลาในการเคลือบผิวมาเขียนกราฟ ก็จะได้กราฟที่มีแนวโน้มเป็น เส้นตรง ดังรูปที่ 4.23 และมีค่าความชันของกราฟเท่ากับ 49054

ตารางที่ 4.3 แสดงความหนาชั้นเคลือบของชิ้นงานผ่านการทำอะลูมิในซิงบน IN 738 ที่อุณหภูมิ 1000° C เป็นเวลา 1, 2.25 และ 4 ชั่วโมง

เวลาที่ใช้ในการเคลือบผิว (ชั่วโมง)	ความหนาของชั้นเคลื่อบ (µm)	SD
1.00	86.65	3.15
2.25	297.68	22.70
4.00	389.56	82.01
6.25	-	-



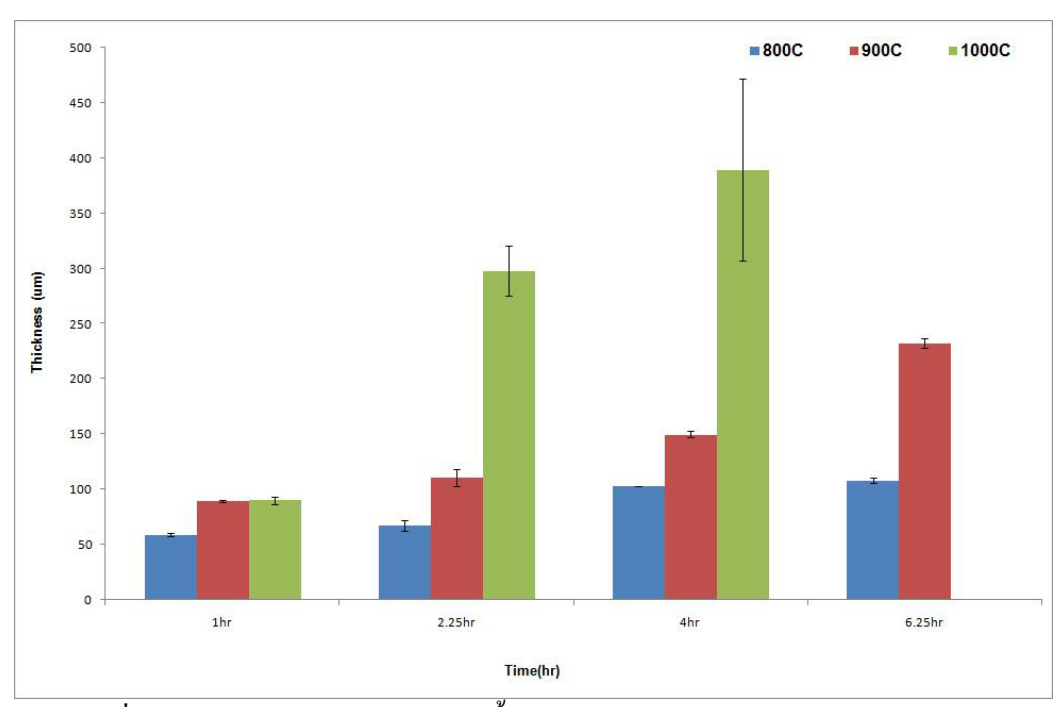
รูปที่ 4.23 กราฟแสดงความหนาชั้นเคลือบต่อเวลาของชิ้นงานผ่านการทำอะลูมิในซิงบน IN 738 ที่อุณหภูมิ 1000°C

จากผลการตรวจสอบกราฟระหว่างค่าความหนาชั้นเคลือบยกกำลังสองต่อเวลาในการ เคลือบผิวของโลหะผสมพิเศษเนื้อพื้นนิกเกิลชนิด IN 738 ที่ทำการเคลือบผิวด้วยอุณหภูมิ 800, 900 และ 1000 องศาเซลเซียส ข้างต้นพบว่า ค่าความหนาเฉลี่ยยกกำลังสอง (E²) จะมีค่าแปรผันตาม อุณหภูมิ (t) คังนั้นกลไกการเกิดชั้นเคลือบในกระบวนการ Pack-Aluminizing จึงเป็นแบบ Diffusion Control โดยมีอะลูมิเนียมแพร่ในนิกเกิล ดังที่ Wagner ได้ทำการศึกษาไว้ว่า เมื่อกลไกการ เกิดชั้นเคลือบเป็นแบบ Diffusion control ความหนาที่ได้จะมีค่าเป็นสัดส่วนกับเวลา คังสมการที่ 5.1

$$E^2 = 2k't (5.1)$$

โดยค่า k' คือ ค่า Tammann's constant และเมื่อเปรียบเทียบสมการของ Wagner กับ สมการ ของกราฟที่ได้จากการเคลือบผิวโลหะผสมพิเศษเนื้อพื้นนิกเกิลชนิด IN 738 ด้วยอุณหภูมิ 800, 900 และ 1000 องศาเซลเซียส จะได้ว่า ความชั้นของกราฟมีค่า 2k' ดังนั้นค่า Tammann's constant ของ โลหะผสมพิเศษเนื้อพื้นนิกเกิลชนิด IN 738 ที่ทำการเคลือบผิวที่อุณหภูมิ 800, 900 และ 1000 องศา เซลเซียส จะมีค่าเท่ากับ 1071.05, 4328.5 และ 24527 ตามลำดับ

จากผลการตรวจความหนาชั้นเคลือบของโลหะผสมพิเศษเนื้อพื้นนิกเกิลชนิด IN 738 เมื่อ ทำการเคลือบผิวด้วยอุณหภูมิ 800, 900 และ 1000 องศาเซลเซียส พบว่า เมื่อเวลาที่ใช้ในการเคลือบ เพิ่มมากขึ้น ความหนาชั้นเคลือบจะเพิ่มขึ้น เนื่องมาจากการแพร่เป็นปรากฏการณ์ที่อาศัยเวลาดังนั้น เมื่อใช้เวลาในการเคลือบผิวนานขึ้นทำให้มีเวลาสำหรับอะลูมิเนียมที่จะแพร่เข้าสู่ชิ้นงาน ดังนั้นเมื่อ เวลานานขึ้นความหนาของชั้นเคลือบจึงสูงขึ้น ดังผลการทดลองที่พบว่าความหนาชั้นเคลือบแปร ผันตามเวลาในการเคลือบผิว



รูปที่ 4.24 กราฟแท่งแสดงความหนาชั้นเคลือบต่ออุณหภูมิในการทำการเคลือบผิว ของโลหะผสมพิเศษเนื้อพื้นนิกเกิลชนิค IN 738

จากนั้นเมื่อพิจารณาค่า Tammann's constant ของโลหะผสมพิเศษเนื้อพื้นนิกเกิลชนิด IN 738 พบว่า ที่เวลาในการเคลือบผิวเท่ากัน เมื่อเพิ่มอุณหภูมิในการเคลือบผิวจะส่งผลให้ค่า Tammann's constant เพิ่มขึ้น โดยมีสาเหตุเนื่องจาก ที่เวลาในการเคลือบผิวเท่ากัน หากทำการเพิ่ม อุณหภูมิในการเคลือบผิวความหนาชั้นเคลือบจะมีค่ามากขึ้น ดังรูปที่ 4.24 นั่นคือ อัตราการโตของชั้นเคลือบ (Growth rate) เพิ่มขึ้น ทั้งนี้อัตราการโตของชั้นเคลือบเพิ่มขึ้นตามอุณหภูมินั้นเป็นผลมา จากค่า Diffusion coefficient ซึ่งเปลี่ยนแปลงตามอุณหภูมิ โดยความสัมพันธ์ของอุณหภูมิกับค่า Diffusion coefficient สามารถแสดงได้จากสมการที่ 5.2 คือ

$$D = D_0^{\text{exp(-Q/RT)}}$$
 (5.2)

จากสมการค่า D₀ และ Q จะเป็นค่าคงที่และจะมีค่าเปลี่ยนแปลงเมื่อส่วนประกอบทางเคมี (Composition) เปลี่ยนแปลง ดังนั้นจากสมการที่ 5.2 ข้างต้นจะอธิบายได้ว่า เมื่ออุณหภูมิในการ เคลือบผิวสูงขึ้น จะส่งผลให้ค่า Diffusion coefficient เพิ่มขึ้น ดังนั้นอัตราการโตของชั้นเคลือบจึง เพิ่มขึ้น และจากการที่อัตราการโตของชั้นเคลือบเพิ่มสูงขึ้นจะส่งผลให้ค่า Tammann's constant เพิ่ม มากขึ้น นอกจากสาเหตุข้างแล้ว กลการเกิดชั้นเคลือบด้วยวิธี Aluminizing ก็มีผลต่อความหนาและ ลักษณะชั้นเคลือบ จากข้อมูลที่ได้ทำการศึกษาพบว่า การทำ Aluminizing จะเกิดกลไก ได้ 2 แบบ คือ Inward diffusion และ Outward diffusion ซึ่งกลไกการเกิด inward diffusion จะเกิดเมื่อใช้

อุณหภูมิในการทำการเคลื่อบผิวในช่วง 700-950 องศาเซลเซียส อะลูมิเนียมจะมีการแพร่เข้าสู่ ผิวชิ้นงาน จะทำให้เกิด โครงสร้าง Ni₂Al₃ และจะพบว่าเนื่องจากอะลูมิเนียมแพร่เข้าสู่ชิ้นงาน จึงทำ ให้ชิ้นงานไม่มีการเปลี่ยนขนาด ซึ่งสอดคล้องกับผลการตรวจสอบลักษณะชิ้นงานในหัวข้อ 4.1.1 ชิ้นงานที่ทำการเคลือบผิวที่อุณหภูมิ 800 และ 900 องศาเซลเซียส จะไม่มีการเปลี่ยนแปลงของ ขนาดชิ้นงาน

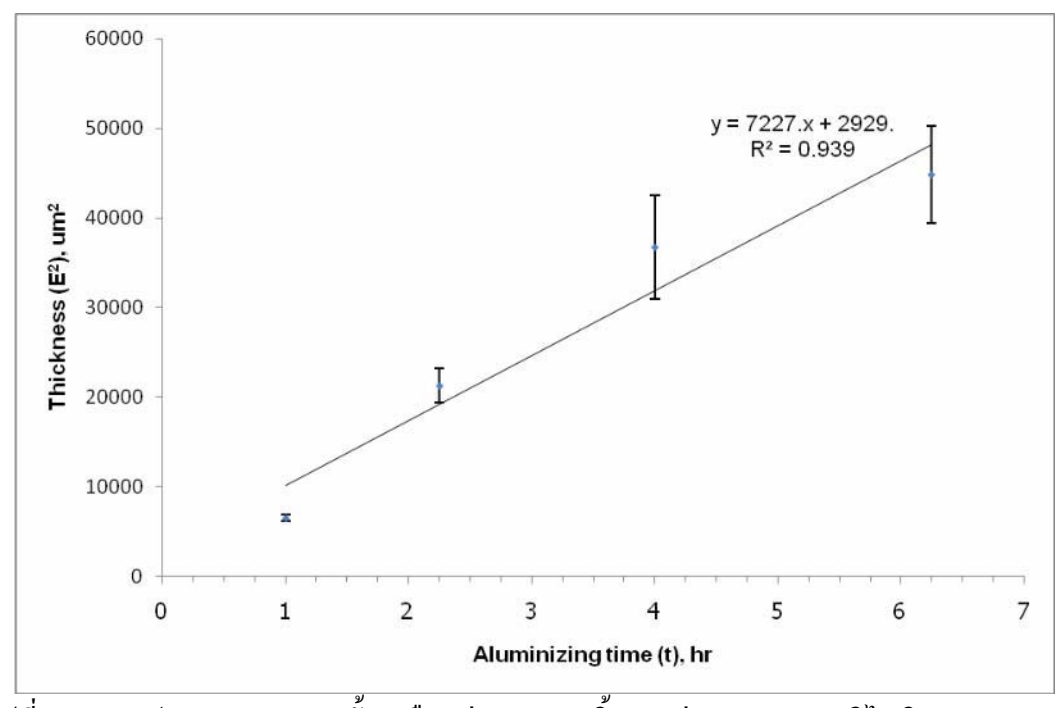
ขณะที่กลใกการเกิด outward diffusion จะเกิดเมื่อใช้อุณหภูมิในการเคลือบผิวประมาณ 1000-1100 องศาเซลเซียส ซึ่งนิกเกิลจะมีการแพร่ออกจากเนื้อพื้นสู่ผิวชิ้นงาน ทำให้ชั้นเคลือบ เกิดขึ้นบนผิวชิ้นงานเดิม ส่งผลให้ชิ้นงานมีการเปลี่ยนแปลงขนาด นอกจากนี้ ชั้นเคลือบที่เกิดขึ้นที่ อุณหภูมิ 1000 องศาเซลเซียส มีอัตราการโตสูงทำให้ความหนามาก โครงสร้างชั้นเคลือบนั้นเป็น เฟสที่มีคุณสมบัติที่เปราะ แตกและหลุดร่อนได้ง่าย จึงทำให้เมื่อทำการวัดความหนาชั้นเคลือบของ โลหะผสมพิเศษเนื้อพื้นนิกเกิลชนิด IN 738 ที่ผ่านการเคลือบผิวด้วยอุณหภูมิ 1000 องศาเซลเซียส จะได้ค่าความหนาที่ค่อนข้างแตกต่างกัน ทำให้ค่าเบี่ยงเบนของความหนาของชิ้นงานมีค่าสูง ดัง แสดงในกราฟแผนภูมิแท่ง รูปที่ 4.24

4.4.2 ความหนาชั้นเคลือบบนโลหะผสมพิเศษเนื้อพื้นนิกเกิลชนิด GTD 111

โลหะผสมพิเศษเนื้อพื้นนิกเกิลชนิด GTD 111 เมื่อเคลือบผิวด้วยอุณหภูมิ 900 องศา เซลเซียส เป็นเวลา 1, 2.25, 4 และ 6.25 ชั่วโมง แล้วนำมาทำการตัดขวางและตรวจสอบความหนา ชั้นเคลือบ ได้ว่า เมื่อเวลาที่ใช้ในการเคลือบผิวโลหะผสมพิเศษเนื้อพื้นนิกเกิลชนิด GTD 111 เพิ่มขึ้น ความหนาของชั้นเคลือบก็จะเพิ่มขึ้น โดยค่าความหนาเฉลี่ยของชิ้นงานมีค่าเป็น 80.56, 145.68, 191.20 และ 211.42 µm ตามลำดับ (ตารางที่ 4.4) จากนั้นนำความหนาเฉลี่ยที่ได้ มาเขียน กราฟระหว่างความหนาเฉลี่ยของชั้นเคลือบยกกำลังสองต่อเวลาที่ใช้ในการเคลือบผิว จะได้ว่ากราฟ ที่ได้มีแนวโน้มเป็นเส้นตรงเช่นเดียวกับโลหะผสมพิเศษเนื้อพื้นนิกเกิลชนิด IN 738 ดังรูปที่ 4.25 โดยมีค่าความชั้นของกราฟเท่ากับ 7227

ตารางที่ 4.4 แสดงความหนาชั้นเคลือบของชิ้นงานผ่านการทำอะลูมิในซิงบน GTD 111 ที่อุณหภูมิ 900° C เป็นเวลา 1, 2.25, 4 และ 6.25 ชั่วโมง

เวลาที่ใช้ในการเคลือบผิว (ชั่วโมง)	ความหนาของชั้นเคลื่อบ (µm)	SD
1.00	80.56	2.34
2.25	145.68	6.41
4.00	191.20	14.95
6.25	211.42	12.80



รูปที่ 4.25 กราฟแสดงความหนาชั้นเคลือบต่อเวลาของชิ้นงานผ่านการทำอะลูมิในซึ่งบน GTD 111 ที่อุณหภูมิ 900°C

จากผลการตรวจสอบกราฟระหว่างค่าความหนาชั้นเคลือบยกกำลังสองต่อเวลาในการ เคลือบผิวของโลหะผสมพิเศษเนื้อพื้นนิกเกิลชนิด GTD 111 ที่ทำการเคลือบผิวด้วยอุณหภูมิ 900 องศาเซลเซียส ข้างต้นพบว่า ค่าความหนาเฉลี่ยยกกำลังสองจะมีค่าแปรผันตามอุณหภูมิ (E² α t) ดังนั้นกลไกการเกิดชั้นเคลือบในกระบวนการ Pack-Aluminizing จึงเป็นแบบ Diffusion Control โดยมีอะลูมิเนียมแพร่ในนิกเกิลเช่นเดียวกับโลหะผสมพิเศษเนื้อพื้นนิกเกิลชนิด IN 738 และจาก สมการของ Wagner (สมการที่ 5.1) เมื่อเปรียบเทียบกับสมการของกราฟที่ได้จากการเคลือบผิว โลหะผสมพิเศษเนื้อพื้นนิกเกิลชนิด GTD 111 ด้วยอุณหภูมิ 900 องศาเซลเซียส จะได้ว่า ค่าความ ชันของกราฟ มีค่า 2k'

ดังนั้นค่า Tammann's constant ของโลหะผสมพิเศษเนื้อพื้นนิกเกิลชนิค GTD 111 ที่ทำการ เคลือบผิวที่อุณหภูมิ 900 องศาเซลเซียส จะมีค่าเท่ากับ 3613.5 และจากผลการตรวจความหนาชั้น เคลือบของโลหะผสมพิเศษเนื้อพื้นนิกเกิลชนิค GTD 111 เมื่อทำการเคลือบผิวด้วยอุณหภูมิ 900 องศาเซลเซียส พบว่า เนื่องจากอัตราการแพร่ (Diffusion rate) จะแปรผันตามเวลาในการเคลือบผิว ดังนั้นเมื่อเวลาที่ใช้ในการเคลือบผิวเพิ่มมากขึ้น ความหนาชั้นเคลือบจึงมีค่าเพิ่มขึ้น

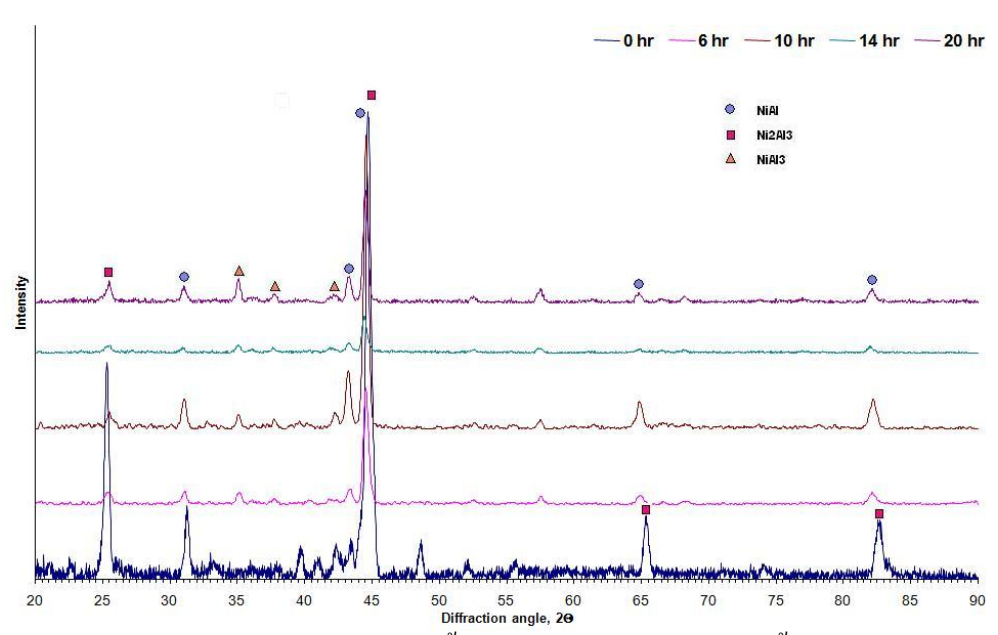
เมื่อเปรียบเทียบค่าความหนาชั้นเคลือบระหว่าง โลหะผสมพิเศษเนื้อพื้นนิกเกิลชนิด IN 738 และ GTD 111 ที่ทำการเคลือบผิวด้วยอุณหภูมิ 900 องศาเซลเซียส เป็นเวลาเท่ากัน พบว่า โลหะผสมพิเศษเนื้อพื้นนิกเกิลชนิด GTD 111 จะมีความหนาชั้นเคลือบที่น้อยกว่า โลหะผสมพิเศษเนื้อพื้น นิกเกิลชนิด IN 738 ซึ่งอธิบายได้จากสมการที่ 5.2 โดยพบว่าค่า D_0 และ Q จะมีค่าเปลี่ยนแปลงเมื่อ Composition มีการเปลี่ยนแปลง ซึ่งโลหะผสมพิเศษเนื้อพื้นนิกเกิลชนิด IN 738 และ GTD 111 นั้น

มีส่วนผสมทางเคมีที่แตกต่างกัน จึงทำให้ค่า D_0 และ Q มีค่าแตกต่างกัน ส่งผลให้ค่า Diffusion coefficient ของโลหะทั้งสองชนิดมีค่าแตกต่างกัน ดังนั้นค่า Tammann's constant หรือ อัตราการโต ของชั้นเคลือบที่ได้จากโลหะผสมพิเศษนิกเกิลชนิด IN 738 และ GTD 111จึงมีค่าแตกต่างกัน ดังจะ เห็นได้จากผลการวัดความหนาของชั้นเคลือบ

4.5 ผลการตรวจสอบเชิงคุณภาพของชั้นเคลือบภายหลังการทำอบเป็นเนื้อเดียว 4.5.1 ผลการตรวจสอบโดย XRD

4.5.1.1 ผลการตรวจสอบบนโลหะผสมพิเศษเนื้อพื้นนิกเกิลชนิด IN 738

รูปที่ 4.26 โลหะผสมพิเศษเนื้อพื้นนิกเกิลชนิด IN 738 ที่ผ่านการทำการเคลือบผิว ที่อุณหภูมิ 900 องศาเซลเซียส เป็นเวลา 4 ชั่วโมง เมื่อนำมาทำการอบเป็นเนื้อเดียวที่อุณหภูมิ 1000 องศาเซลเซียส เป็นเวลา 6 ชั่วโมง พบว่า มีการเปลี่ยนแปลงค่าความเข้มสัมพัทธ์ (relative intensity) ของเฟส Ni₂Al₃ และ NiAl₃ ซึ่งพีคของเฟส Ni₂Al₃ บางพีคจะมีค่าความเข้มสัมพัทธ์ลดลง ส่วนพีค ของเฟส NiAl₃ ก็จะหายไป โดยมีพีคใหม่เกิดขึ้นคือ พีคของเฟส NiAl (JCPDS No. 02-1261) ซึ่งจาก กราฟจะเห็นว่า พีคที่มีความเข้มสัมพัทธ์สูงสุดจะเป็นพีคของเฟส NiAl



รูปที่ 4.26 เปรียบเทียบการตรวจสอบชั้นเคลือบหลังทำการอบเป็นเนื้อเดียวที่ 1000° C ที่เวลา 0, 6, 10, 14 และ 20 ชั่วโมง ของชิ้นงานที่ทำอะลูมิในซิงบน IN 738 ที่ 900° C เวลา 4 ชั่วโมง ด้วยวิธี GIXD

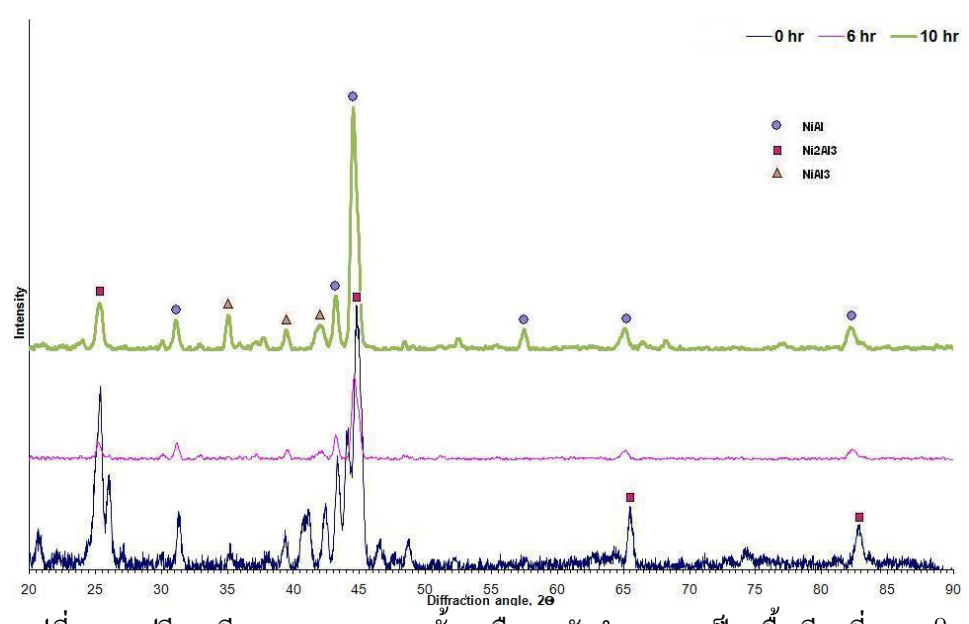
จากผลการตรวจสอบข้างต้นทำให้ทราบว่า ภายหลังจากการทำการอบเป็นเนื้อเดียว โครงสร้างหลักของชั้นเคลือบจะเกิดการเปลี่ยนแปลงจากเฟส $\mathrm{Ni}_2\mathrm{Al}_3$ ไปเป็นเฟส NiAl เนื่องจากการทำอบเป็นเนื้อเคียวที่อุณหภูมิ 1000 องศาเซลเซียส เป็นเวลานานจะทำให้ปริมาณอะลูมิเนียมใน ชั้นเคลือบซึ่งมีมาก สามารถเกิดการแพร่เข้าสู่พื้นผิว (Substrate) ชิ้นงาน (มีปริมาณอะลูมิเนียมน้อย กว่า) ทำให้ปริมาณอะลูมิเนียมในชั้นเคลือบลดลง เมื่อปริมาณของอะลูมิเนียมลดลง ก็จะทำให้ โครงสร้างเปลี่ยนแปลงจากเฟส Ni₂Al₃ เป็นเฟส NiAl ดังแผนภูมิสมคุลของนิกเกิลและอะลูมิเนียม รูปที่ 4.8

จากนั้นทำการตรวจสอบชิ้นงานที่ทำการอบเป็นเนื้อเดียวที่อุณหภูมิ 1000 องศา เซลเซียส เป็นเวลา 10 ชั่วโมง พบว่า พีคที่ได้จะมีลักษณะเช่นเดียวกัน คือ มีพีคของเฟส NiAl, และ NiAl เกิดขึ้น โดยพีคที่มีค่าความเข้มสัมพัทธ์สูงสุดคือพีคของเฟส NiAl ดังนั้นชั้นเคลือบจึงมี โครงสร้างหลักเป็นเฟส NiAlเมื่อพิจารณาความเข้มสัมพัทธ์ของพีค Ni₂Al, ที่ได้พบว่าจะมีค่า น้อยลง เมื่อเทียบกับชิ้นงานที่ทำการอบเป็นเนื้อเดียวเป็นเวลา 6 ชั่วโมง ซึ่งหมายความว่า เมื่อทำการ อบเป็นเนื้อเดียวชิ้นงานเป็นเวลา 6 ชั่วโมงจะยังคงมีปริมาณของ Ni₂Al, เหลืออยู่ ดังนั้นเมื่อเพิ่มเวลา ในการอบเป็นเนื้อเดียวเป็น 10 ชั่วโมง ปริมาณเฟส Ni₂Al, จึงลดลงไปอีก

และทำการตรวจสอบชิ้นงานที่ทำการอบเป็นเนื้อเดียวที่อุณหภูมิ 1000 องศา เซลเซียส เป็นเวลา 14 และ 20 ชั่วโมง พบว่าพีกที่ได้ประกอบไปด้วยพีกของเฟส NiAl, และ NiAl โดยพีกที่มีค่าความเข้มสัมพัทธ์สูงสุดคือพีกของเฟส NiAl ดังนั้นชั้นเคลือบจึงมีโครงสร้างหลักเป็น เฟส NiAl แต่เมื่อพิจารณาค่าความเข้มสัมพัทธ์ของพีก Ni₂Al, จะเห็นว่ามีค่าใกล้เคียงกับชิ้นงานที่ทำ การอบเป็นเนื้อเดียวที่เวลา 10 ชั่วโมง นั่นแสดงว่า การทำการอบเป็นเนื้อเดียวชิ้นงานเป็นเวลา 14 และ 20 ชั่วโมง ทำให้ชั้นเคลือบที่ได้มีการเปลี่ยนแปลงไม่แตกต่างกับการอบเป็นเนื้อเดียวชิ้นงาน เป็นเวลา 10 ชั่วโมง

4.5.1.2 ผลการตรวจสอบบนโลหะผสมพิเศษเนื้อพื้นนิกเกิลชนิด GTD 111

เมื่อพิจารณารูปที่ 4.27 โลหะผสมเนื้อพื้นนิกเกิลชนิด GTD 111 ที่ผ่านการเคลือบ ผิวที่อุณหภูมิ 900 องศาเซลเซียส เป็นเวลา 4 ชั่วโมง เมื่อนำมาทำการอบเป็นเนื้อเคียวที่อุณหภูมิ 1000 องศาเซลเซียส เป็นเวลา 6 ชั่วโมง พบว่า มีลักษณะกราฟคล้ายกับของโลหะผสมพิเศษเนื้อพื้น นิกเกิลชนิดIN 738 โดยเกิดการเปลี่ยนแปลงค่าความเข้มสัมพัทธ์ (relative intensity) ของเฟส Ni₂Al₃ และNiAl₃ ซึ่งพีคของเฟส Ni₂Al₃ บางพีคจะมีค่าความเข้มสัมพัทธ์ลดลง และบางพีคก็จะ หายไป ส่วนพีคของเฟส NiAl₃ ก็จะหายไปเช่นกัน โดยมีพีคใหม่เกิดขึ้นคือ พีคของเฟส NiAl ซึ่ง จากกราฟจะเห็นว่าพีคที่มีความเข้มสัมพัทธ์สูงสุดจะเป็นพีคของเฟส NiAl จากผลการตรวจสอบ ข้างต้นทำให้ทราบว่า ภายหลังจากการทำการอบเป็นเนื้อเดียวโครงสร้างหลักของชั้นเคลือบจะเกิด การเปลี่ยนแปลงจากเฟส Ni₂Al₃ ไปเป็นเฟส NiAl เช่นเดียวกันกับโลหะผสมพิเศษเนื้อพื้นนิกเกิล ชนิด IN 738



รูปที่ 4.27 เปรียบเทียบการตรวจสอบชั้นเคลือบหลังทำการอบเป็นเนื้อเคียวที่ 1000 °C ที่เวลา 0, 6 และ 10 ชั่วโมง ของชิ้นงานที่ทำอะลูมิในซิงบน GTD 111ที่ 900°C

เวลา 4 ชั่วโมง ด้วยวิชี GIXD

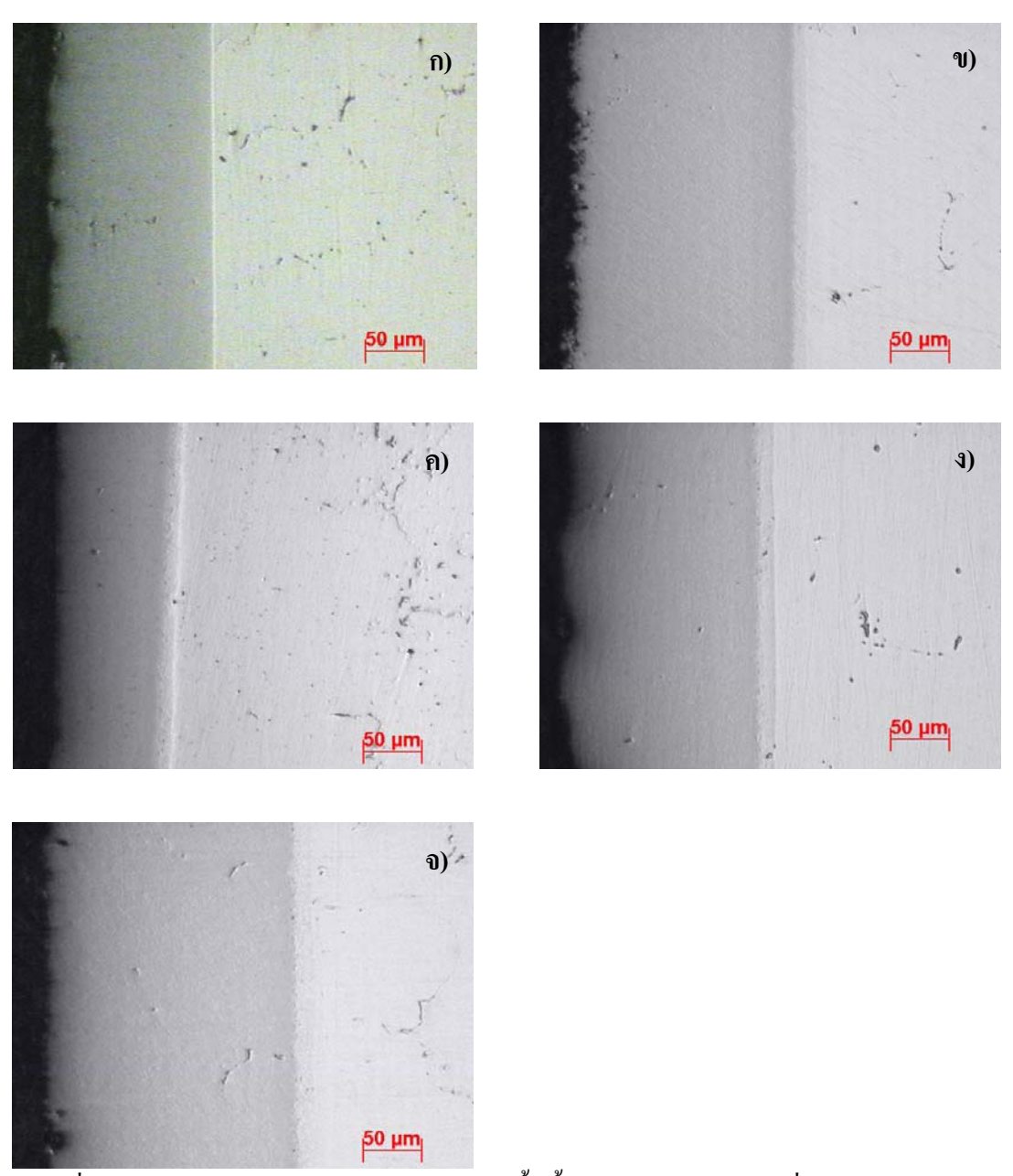
จากนั้นได้ทำการอบเป็นเนื้อเดียวชิ้นงานที่อุณหภูมิ 1000 องศาเซลเซียส เป็นเวลา 10 ชั่วโมง เนื่องจากต้องการนำไปทำการศึกษาเปรียบเทียบผลด้านความต้านทานการเกิด ออกซิเดชันพบว่า มีลักษณะกราฟคล้ายกับกราฟของชิ้นงานที่ทำการอบเป็นเนื้อเดียวเป็นเวลา 6 ชั่วโมง โดยมีการเปลี่ยนแปลงค่าความเข้มสัมพัทธ์ (relative intensity) ของเฟส Ni₂Al₃ และ NiAl₃ ซึ่งพีคของเฟส Ni₂Al₃ บางพีคจะมีค่าความเข้มสัมพัทธ์ลดลง และบางพีคก็จะหายไปเช่นเดียวกัน ส่วนพีคของเฟส NiAl₃ ก็จะหายไปเช่นกัน โดยมีพีคใหม่เกิดขึ้นคือ พีคของเฟส NiAl ซึ่งจากกราฟ จะเห็นว่า พีคที่มีความเข้มสัมพัทธ์สูงสุดจะเป็นพีคของเฟส NiAl

เมื่อพิจารณาความเข้มสัมพัทธ์ของพีค Ni₂Al₃ ที่ได้พบว่าจะมีค่าน้อยลง เมื่อเทียบ กับชิ้นงานที่ทำการอบเป็นเนื้อเคียวเป็นเวลา 6 ชั่วโมง ซึ่งหมายความว่า เมื่อทำการอบเป็นเนื้อเคียว ชิ้นงานเป็นเวลา 6 ชั่วโมงจะยังคงมีปริมาณของ Ni₂Al₃ เหลืออยู่ ดังนั้นเมื่อเพิ่มเวลาในการอบเป็น เนื้อเคียวเป็น 10 ชั่วโมง ปริมาณเฟส Ni₂Al₃ จึงลดลงไปอีกภายหลังจากการทำการอบเป็นเนื้อเคียว โครงสร้างหลักของชั้นเคลือบจะเกิดการเปลี่ยนแปลงจากเฟส Ni₂Al₃ ไปเป็นเฟส NiAl

4.5.2 ผลการตรวจสอบโครงสร้างจุลภาคภาคตัดขวางของชั้นเคลือบหลังทำการอบเป็นเนื้อ เดียว

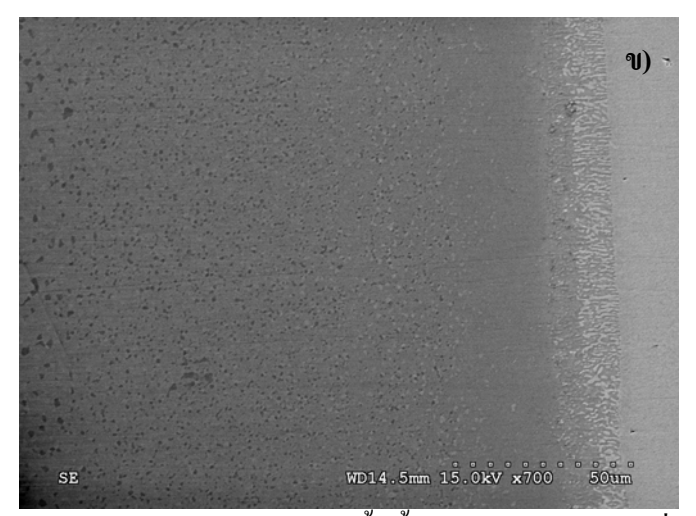
4.5.2.1 โครงสร้างจุลภาคของชั้นเคลือบบนโลหะผสมพิเศษเนื้อพื้นนิกเกิลชนิด IN

จากรูปที่ 4.28 เมื่อพิจารณาโลหะผสมพิเศษเนื้อพื้นนิกเกิลชนิด IN 738 ที่ทำการ เคลือบผิวด้วยอุณหภูมิ 900 องศาเซลเซียส 4 ชั่วโมง แล้วนำไปทำการอบเป็นเนื้อเคียว โดยนำมา ตัดขวาง แล้วทำการตรวจสอบชั้นเคลือบด้วยกล้อง Optical Microscope จะเห็นว่าชิ้นงานที่ทำการ อบเป็นเนื้อเดียว จะมีสักษณะชั้นเคลือบเป็นชั้นเดียวกัน โดยมีลักษณะคือ จะมีสีเทาเข้มและสีเทา อ่อนขนาดเล็กสลับกัน และกระจายอยู่อย่างสม่ำเสมอ เมื่อทำการตรวจสอบด้วยกล้อง SEM จะ พบว่าชั้นเคลือบที่เกิดขึ้นจะมีลักษณะเป็นรูพรุน โดยมีสีเทาเข้มและสีเทาอ่อนขนาดเล็กสลับกัน ดัง รูป 4.29 ซึ่งจากผล XRD ได้ตรวจพบพีคของเฟส NiAl ซึ่งเป็นเฟสหลัก ดังนั้น โครงสร้างชั้นเคลือบ ที่ได้ภายหลังจากการอบเป็นเนื้อเดียวจะเป็นเฟส NiAl โดยมีเฟส NiAl, ผสมอยู่บ้างเล็กน้อย



รูปที่ 4.28 ภาพถ่ายโครงสร้างโลหะผสมพิเศษเนื้อพื้นนิกเกิลชนิด IN 738 ที่เคลือบผิว 900 $^{\circ}$ C เป็นเวลา 4 ชั่วโมง แล้วทำการอบเป็นเนื้อเคียวเป็นเวลา ก.) 0 ข.) 6 ค.) 10 ง.) 14 และ จ.) 20 ชั่วโมง





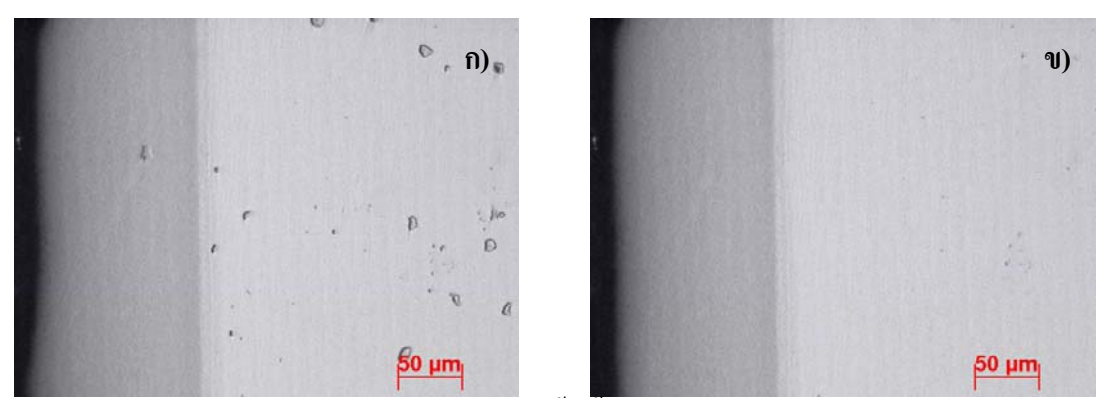
รูปที่ 4.29 ภาพถ่ายโครงสร้างโลหะผสมพิเศษเนื้อพื้นนิกเกิลชนิด IN 738 ที่เคลือบผิว 900 °C เป็นเวลา 4 ชั่วโมง แล้วทำการอบเป็นเนื้อเดียวเป็นเวลา ก.) 10 และ ข.) 20 ชั่วโมง ด้วยกล้อง SEM

4.5.2.2 โครงสร้างจุลภาคของชั้นเคลื่อบบนโลหะผสมพิเศษเนื้อพื้นนิกเกิลชนิด GTD

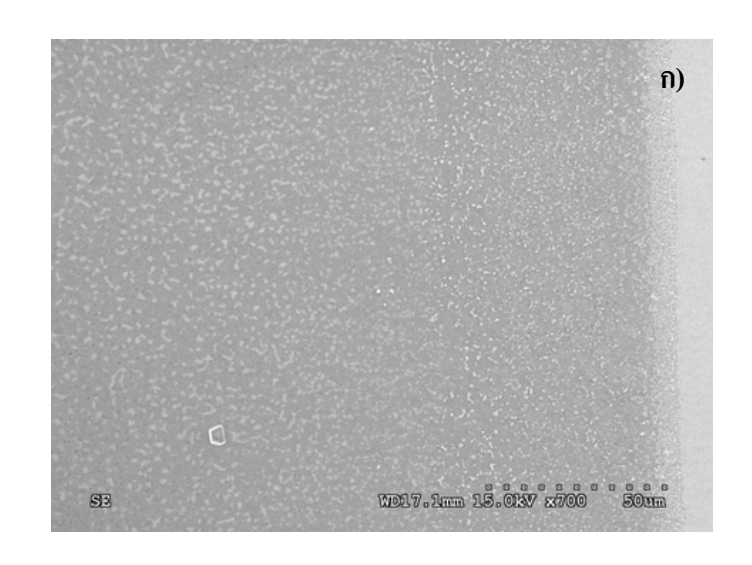
111

จากรูปที่ 4.30 เมื่อพิจารณาโลหะผสมพิเศษเนื้อพื้นนิกเกิลชนิด GTD 111 ที่ทำการ เคลือบผิวด้วยอุณหภูมิ 900 องศาเซลเซียส 4 ชั่วโมง แล้วนำไปทำการอบเป็นเนื้อเดียว โดยนำมา ตัดขวาง แล้วทำการตรวจสอบชั้นเคลือบด้วยกล้อง Optical Microscope จะเห็นว่าชิ้นงานที่ทำการ อบเป็นเนื้อเดียวจะมีลักษณะชั้นเคลือบเป็นชั้นเดียวกัน โดยมีลักษณะคือ จะมีสีเทาเข้มและสีเทา อ่อนขนาดเล็กสลับกันและกระจายอยู่อย่างสม่ำเสมอ เมื่อทำการตรวจสอบด้วยกล้อง SEM จะพบว่า

ดังรูป 4.31 ซึ่งจากผล XRD ได้ตรวจพบพีคของเฟส NiAl ซึ่งเป็นเฟสหลัก ดังนั้น โครงสร้างชั้น เคลือบที่ได้ภายหลังจากการอบเป็นเนื้อเดียวจะเป็นเฟส NiAl โดยมีเฟส NiAl, ผสมอยู่บ้างเล็กน้อย



รูปที่ 4.30 ภาพถ่ายโครงสร้างโลหะผสมพิเศษเนื้อพื้นนิกเกิลชนิด GTD 111 ที่เคลือบผิว 900 °C เป็นเวลา 4 ชั่วโมง แล้วทำการอบเป็นเนื้อเดียวเป็นเวลา ก.) 6 และ ข.) 10 ชั่วโมง





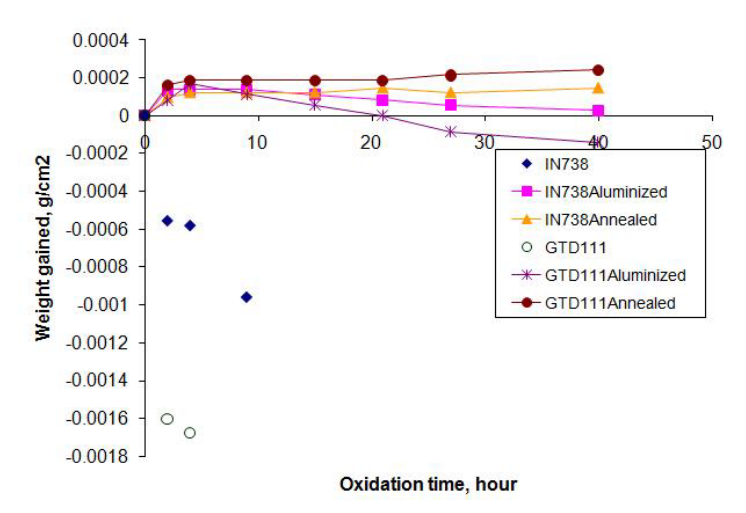
รูปที่ 4.31 ภาพถ่ายโครงสร้างโลหะผสมพิเศษเนื้อพื้นนิกเกิลชนิด GTD 111 ที่เคลือบผิว 900 °C เป็นเวลา 4 ชั่วโมง แล้วทำการอบเป็นเนื้อเคียวเป็นเวลา ก.) 6 และ ข.) 10 ชั่วโมง ค้วยกล้อง SEM

บทที่ 6 ผลการตรวจสอบความต้านทานการเกิดออกซิเดชัน

6.1 ผลการตรวจสอบน้ำหนักหลังทดสอบออกซิเดชัน

6.1.1 ผลการตรวจสอบน้ำหนักของโลหะผสมพิเศษเนื้อพื้นนิกเกิลชนิด IN 738

พิจารณารูปที่ 6.1 ผลการตรวจสอบความสามารถในการต้านทานการเกิด ออกซิเคชันที่อุณหภูมิ 1000 องศาเซลเซียส เป็นเวลา 2 ชั่วโมง พบว่า โลหะผสมพิเศษเนื้อพื้น นิกเกิลชนิด IN 738 ที่ไม่ได้ทำการเคลือบผิวด้วยกระบวนการ Pack-Aluminizing จะมีน้ำหนักลดลง ในขณะที่ชิ้นงานที่ทำการเคลือบผิว โคยไม่ผ่านการอบเป็นเนื้อเคียวและชิ้นงานที่ผ่านการเคลือบผิว และอบอ่อนจะมีน้ำหนักเพิ่มขึ้น สำหรับชิ้นงานที่ไม่ได้ทำการเคลือบผิวโลหะพื้นนิกเกิลจะทำ ปฏิกิริยากับออกซิเจนที่อยู่ในบรรยากาศได้ดีที่อุณหภูมิสูงและสามารถเกิดเป็นสารประกอบ ออกไซด์ที่ผิว ออกไซด์ที่เกิดขึ้นนี้มีความหนาแน่นต่ำและพรุน ทำให้ออกซิเจนสามารถแพร่ผ่าน ชั้นออกไซด์และทำปฏิกิริยาทำให้ชั้นออกไซด์เกิดขึ้นต่อไปและมีความหนาที่เพิ่มขึ้น ออกไซค์ที่เกิดขึ้นหนามากก็จะเกิดการหลุดร่อนออกจากผิวชิ้นงานได้ ทำให้น้ำหนักของโลหะผสม พิเศษเนื้อพื้นนิกเกิลชนิค IN 738 และ GTD 111 ที่ไม่ได้ทำการเคลือบผิวมีน้ำหนักลคลง เนื่องจาก เกิดการหลุดร่อน ของฟิล์มออกไซด์บางส่วน แต่สำหรับชิ้นงานที่ทำการเคลือบผิวโดยไม่ผ่านการ อบเป็นเนื้อเคียวและชิ้นงานที่ผ่านการเคลือบผิวและอบเป็นเนื้อเคียวจะมีชั้นเคลือบนิกเกิลอะลูมิ ในด์ (NiAl) เคลือบผิว ซึ่งที่อุณหภูมิสูงและบรรยากาศออกซิเจนในอากาศจะเกิดปฏิกิริยากับชั้น เคลือบ ทำให้เกิดสารประกอบอะลูมิเนียมออกไซด์ซึ่งเป็นฟิล์มที่มีความหนาแน่นสูงไม่มีรูพรุน ทำ ให้ออกซิเจนสามารถแพร่ผ่านชั้นฟิล์ม อะลูมิเนียมออกไซค์นี้ได้ยากทำให้ช่วยยับยั้งการเกิด ออกซิเดชัน และเนื่องจากฟิล์มออกไซด์ที่เกิดขึ้นดังที่กล่าวมาแล้วจึงส่งผลให้น้ำหนักชิ้นงานทั้งสอง เพิ่มขึ้น



รูปที่ 6.1 แสดงการเกิดออกซิเดชันที่อุณหภูมิ 1000°C ของโลหะผสมพิเศษเนื้อพื้นนิกเกิล ชนิด IN 738 และ GTD 111

จากนั้นพิจารณาเปรียบเทียบความสามารถในการด้านทานการเกิดออกซิเดชันของ โลหะผสมพิเศษเนื้อพื้นนิกเกิลที่ผ่านการเคลือบผิวโดยไม่ผ่านการอบเป็นเนื้อเดียว และโลหะผสมพิเศษเนื้อพื้นนิกเกิลที่ผ่านการเคลือบผิวและอบเป็นเนื้อเดียว เมื่อทำการทดสอบเป็นเวลา 4 และ 9 ชั่วโมง พบว่าชิ้นงานที่ผ่านการเคลือบผิวโดยไม่ทำการอบเป็นเนื้อเดียวจะมีน้ำหนักเพิ่มขึ้นมากกว่าชิ้นงานที่ทำการเคลือบผิวและอบเป็นเนื้อเดียว เนื่องจากชั้นเคลือบของชิ้นงานที่ผ่านการเคลือบผิวโดยไม่ได้ทำการอบเป็นเนื้อเดียว ดังนั้นน้ำหนักจึงเพิ่มมากกว่า และเมื่อพิจารณาความสามารถในการด้านทานการเกิด ออกซิเดชัน เมื่อทำการทดสอบเป็นเวลา 15 ชั่วโมง พบว่า ชิ้นงานที่ทำการเคลือบผิวโดยไม่ผ่านการอบเป็นเนื้อเดียวจะยังคงมีน้ำหนักของชิ้นงานลดลง ในขณะที่ชิ้นงานที่ทำการเคลือบผิวและผ่านการอบเป็นเนื้อเดียวจะยังคงมีน้ำหนักของชิ้นงานลดลง ในขณะที่ชิ้นงานที่ทำการเคลือบผิวและผ่านการอบเป็น เนื้อเดียวจะยังคงมีน้ำหนักลงเดิม นั่นหมายความว่า ออกไซด์บนชิ้นงานที่ทำการเคลือบผิวและผ่านการอบเป็น เนื้อเดียวจะไม่มีการหลุดร่อนของฟิล์มออกไซด์ นั่นแสดงว่า ชิ้นงานที่ทำการเคลือบผิวและผ่านการอบเป็น เนื้อเดียวจะด้านทานการเกิดออกซิเดชันได้ดีกว่าชิ้นงานที่ทำการเคลือบผิวโดยไม่ผ่านการอบเป็น เนื้อเดียวจะต้านทานการเกิดออกซิเดชันได้ดีกว่าชิ้นงานที่ทำการเคลือบผิวโดยไม่ผ่านการอบเป็น เนื้อเดียวละตับน้าไม่ได้ทำการเคลือบผิวตามลำดับ

6.1.2 ผลการตรวจสอบน้ำหนักของโลหะผสมพิเศษเนื้อพื้นนิกเกิลชนิด GTD 111

จากรูปที่ 6.1 ผลการตรวจสอบความสามารถในการด้านทานการเกิดออกซิเดชันที่ อุณหภูมิ 1000 องสาเซลเซียส เป็นเวลา 2 ชั่วโมง พบว่า โลหะผสมพิเสษเนื้อพื้นนิกเกิลชนิด GTD 111 ที่ไม่ได้เคลือบผิวจะมีน้ำหนักลดลง ในขณะที่ชิ้นงานที่ทำการเคลือบผิวโดยไม่ผ่านการอบเป็น เนื้อเดียวและชิ้นงานที่ผ่านการเคลือบผิวและอบเป็นเนื้อเดียว จะมีน้ำหนักเพิ่มขึ้นเช่นเดียวกับโลหะ ผสมพิเสษเนื้อพื้นนิกเกิลชนิด IN 738 ซึ่งมีสาเหตุจากโลหะบนผิวชิ้นงานที่ไม่ได้ทำการเคลือบผิว จะทำปฏิกิริยากับออกซิเจนในบรรยากาสได้ดี เกิดเป็นสารประกอบออกไซด์ที่ผิว ซึ่งออกไซด์ที่ เกิดขึ้นจะเกิดการหลุดร่อนออกจากผิวชิ้นงานได้ง่าย ทำให้น้ำหนักของโลหะผสมพิเสษเนื้อพื้น นิกเกิลชนิด IN 738 ที่ไม่ได้ทำการเคลือบผิวมีน้ำหนักลดลง ขณะที่ชิ้นงานที่ทำการเคลือบผิวโดยไม่ ผ่านการอบเป็นเนื้อเดียวและชิ้นงานที่ผ่านการเคลือบผิวและอบเป็นเนื้อเดียวจะมีชั้นเคลือบช่วย ป้องกัน ซึ่งชั้นเคลือบจะเกิดปฏิกิริยากับออกซิเจนจะเกิดเป็นฟิล์มออกไซด์ที่หลุดร่อนได้ยากกว่า ส่งผลให้น้ำหนักชิ้นงานทั้งสองเพิ่มขึ้น

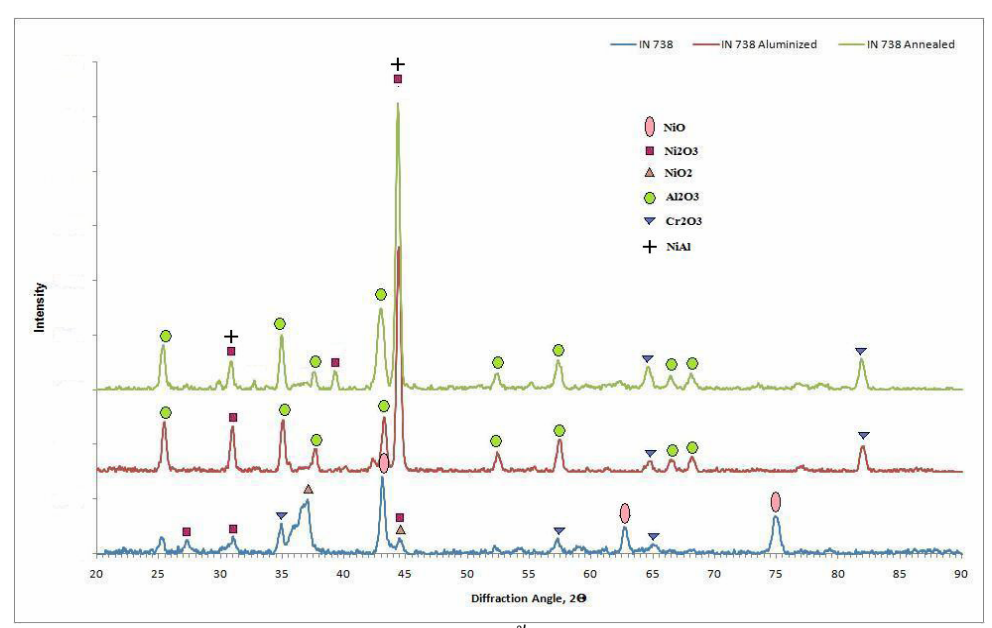
จากนั้นพิจารณาเปรียบเทียบความสามารถในการต้านทานการเกิดออกซิเดชันของ โลหะผสมพิเศษเนื้อพื้นนิกเกิลที่ผ่านการเคลือบผิวโดยไม่ผ่านการอบเป็นเนื้อเดียว และโลหะผสม พิเศษเนื้อพื้นนิกเกิลที่ผ่านการเคลือบผิวและอบเป็นเนื้อเดียว เมื่อทำการทดสอบเป็นเวลา 4 ชั่วโมง พบว่า ชิ้นงานที่ผ่านการเคลือบผิวโดยไม่ทำการอบเป็นเนื้อเดียวจะมีน้ำหนักเพิ่มขึ้นมากกว่าชิ้นงาน ที่ทำการเคลือบผิวและอบเป็นเนื้อเดียว เนื่องจากชั้นเคลือบของชิ้นงานที่ผ่านการเคลือบผิวโดย ไม่ได้ทำการอบเป็นเนื้อเดียวมีการเกิดฟิล์มออกไซด์มากกว่าชิ้นงานที่ผ่านการเคลือบผิวและอบเป็น เนื้อเดียว น้ำหนักชิ้นงานจึงเพิ่มมากกว่า นั่นหมายความว่า ชิ้นงานที่ผ่านการเคลือบผิวและอบเป็น เนื้อเดียวจะสามารถป้องกันการเกิดออกไซด์ฟิล์มได้ดีกว่าชิ้นงานที่ทำการเคลือบผิวแต่ไม่ผ่านการ คาแป็นเนื้อเดียว

และเมื่อพิจารณาความสามารถในการด้านทานการเกิดออกซิเดชัน เมื่อทำการ ทดสอบเป็นเวลา 9 และ 15 ชั่วโมง พบว่า ชิ้นงานที่ทำการเคลือบผิวโดยไม่ผ่านการอบเป็นเนื้อเดียว จะมีน้ำหนักของชิ้นงานลดลง ในขณะที่ชิ้นงานที่ทำการเคลือบผิวและผ่านการอบเป็นเนื้อเดียวจะ ยังคงมีน้ำหนักคงเดิม นั่นหมายความว่าออกไซด์บนชิ้นงานที่ทำการเคลือบผิวโดยไม่ผ่านการอบ เป็นเนื้อเดียวเริ่มมีการหลุดร่อน ขณะที่ชิ้นงานที่ทำการเคลือบผิวและผ่านการอบเป็นเนื้อเดียวยังไม่ มีการหลุดร่อนของฟิล์มออกไซด์ นั่นแสดงว่า ชิ้นงานที่ทำการเคลือบผิวและอบเป็นเนื้อเดียวจะ ต้านทานการเกิดออกซิเดชันได้ดีกว่าชิ้นงานที่ทำการเคลือบผิวโดยไม่ผ่านการอบเป็นเนื้อเดียวและ ชิ้นงานที่ไม่ได้ทำการเคลือบผิวตามลำดับ

6.2 ผลการตรวจสอบเชิงคุณภาพหลังการทดสอบออกซิเดชัน

6.2.1 ผลการตรวจสอบชั้นเคลือบภายหลังการทำการทดสอบออกซิเดชันของโลหะ ผสมพิเศษเนื้อพื้นนิกเกิลชนิด IN 738

รูปที่ 6.2 เมื่อทำการตรวจสอบชั้นเคลือบโลหะผสมพิเศษเนื้อพื้นนิกเกิลชนิด IN 738 ที่ไม่ได้ทำการเคลือบผิวภายหลังทำการทดสอบออกซิเดชันที่อุณหภูมิ 1000 องศาเซลเซียส เป็น เวลา 15 ชั่วโมง พบว่า โลหะผสมพิเศษเนื้อพื้นนิกเกิลชนิด IN 738 ที่ไม่ได้ทำการเคลือบผิวจะมี กราฟซึ่งประกอบไปด้วยพีคของเฟส Ni₂O₃, NiO₂, NiO และ Cr₂O₃ (JCPDS No. 14-0481, 85-1977, 04-0835, และ 38-1479)โดยพีคที่มีค่าความเข้มสัมพัทธ์สูงที่สุด คือ พีคของเฟส NiO ดังนั้น เมื่อนำโลหะผสมพิเศษเนื้อพื้นนิกเกิลชนิด IN 738 ที่ไม่ได้ทำการเคลือบผิวมาทดสอบออกซิเดชัน จะเกิดออกไซด์ของนิกเกิลเป็นส่วนใหญ่ โดยมีเฟส NiO เป็นเฟสหลัก และเมื่อทำการตรวจสอบ ชิ้นงานที่ทำการเคลือบผิวและอบเป็นเนื้อ เดียว พบว่า กราฟที่ได้จะประกอบไปด้วยพีคของเฟส NiAl, Ni₂O₃, Al₂O₃ (JCPDS No. 46-1212) และ Cr₂O₃ โดยพีคที่มีค่าความเข้มสัมพัทธ์สูงที่สุดคือ พีคของเฟส NiAl



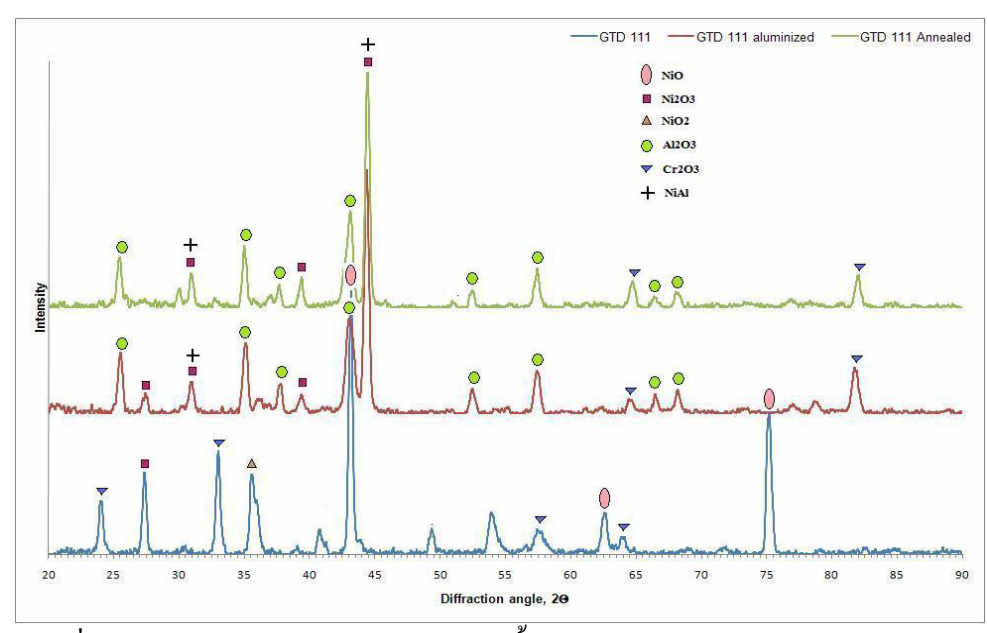
รูปที่ 6.2 ผลการเปรียบเทียบการตรวจสอบชั้นเคลือบหลังทำการทดสอบออกซิเดชัน ที่อุณหภูมิ 1000 °C เป็นเวลา 15 ชั่วโมง ของโลหะผสมพิเศษเนื้อพื้นนิกเกิลชนิด IN 738 ด้วยวิธี GIXD

จากผลการตรวจสอบชั้นเคลื่อบพบว่า โลหะผสมพิเศษเนื้อพื้นนิกเกิลชนิด IN 738 เมื่อนำไปทำการทดสอบออกซิเดชันจะพบว่าเกิดออกไซด์ของนิกเกิลเป็นส่วนใหญ่ แต่เมื่อทำการ เคลื่อบผิวพบว่า ชั้นเคลื่อบที่ได้จะช่วยลดการเกิดออกไซด์ของนิกเกิลได้ โดยจะเกิดเป็นออกไซด์ของอะลูมิเนียมขึ้นแทน ชั้นอะลูมิเนียมออกไซด์นี้ทำตัวเป็นชั้นขัดขวางการแพร่ของออกซิเจน ทำให้ปฏิกิริยาออกซิเดชันถูกหน่วงหรือขัดขวาง ทำให้ชั้นฟิล์มออกไซด์ที่เกิดขึ้นนี้จึงเป็นเพียงชั้น ฟิล์มอะลูมิเนียมออกไซด์ที่บางมาก และเมื่อตรวจสอบด้วย GIXD ที่มุมตกกระทบ 5 องศา รังสี เอกซ์สามารถทะลุผ่านชั้นฟิล์มออกไซด์ ทำให้ยังคงพบพีคของเฟส NiAl เป็นพีคหลักร่วมกับพีค ของเฟสอะลูมิเนียมออกไซด์ ดังแสดงในรูปที่ 6.2

6.2.2 ผลการตรวจสอบชั้นเคลือบภายหลังการทำการทดสอบออกซิเดชันของโลหะ ผสมพิเศษเนื้อพื้นนิกเกิลชนิด GTD 111

รูปที่ 6.3 เมื่อทำการตรวจสอบชั้นเคลือบโลหะผสมพิเศษเนื้อพื้นนิกเกิลชนิด GTD 111 ที่ไม่ได้ทำการเคลือบผิวภายหลังทำการทดสอบออกซิเดชันที่อุณหภูมิ 1000 องศาเซลเซียส เป็น เวลา 15 ชั่วโมง พบว่า ชิ้นงานที่ไม่ได้ทำการเคลือบผิวจะมีกราฟซึ่งประกอบไปด้วยพีคของเฟส Ni₂O₃, NiO₂, NiO และ Cr₂O₃ โดยพีคที่มีค่าความเข้มสัมพัทธ์สูงที่สุด คือพีคของเฟส NiO ดังนั้น เมื่อนำโลหะผสมพิเศษเนื้อพื้นนิกเกิลชนิด GTD 111 ที่ไม่ได้ทำการเคลือบผิวมาทดสอบ ออกซิเดชันพบว่าจะเกิดออกไซด์ของนิกเกิลเป็นส่วนใหญ่ โดยมีเฟส NiO เป็นเฟสหลัก และเมื่อทำการตรวจสอบชิ้นงานที่ทำการเคลือบผิวโดยไม่ได้อบเป็นเนื้อเดียวและชิ้นงานที่ทำการเคลือบผิว

และอบเป็นเนื้อเดียว พบว่า กราฟที่ได้จะประกอบไปด้วยพีคของเฟส NiAl, Ni $_2$ O $_3$, Al $_2$ O $_3$ และ Cr_2 O $_3$ โดยพีคที่มีค่าความเข้มสัมพัทธ์สูงที่สุดคือ พีคของเฟส NiAl



รูปที่ 6.3 ผลการเปรียบเทียบการตรวจสอบชั้นเคลือบหลังทำการทดสอบออกซิเดชัน ที่อุณหภูมิ 1000 C เป็นเวลา 15 ชั่วโมง ของโลหะผสมพิเศษเนื้อพื้นนิกเกิลชนิด GTD 111 ด้วยวิธี GIXD

ดังนั้น โลหะผสมพิเศษเนื้อพื้นนิกเกิลชนิด GTD 111 เมื่อนำไปทำการทดสอบ ออกซิเดชันจะพบว่าเกิดออกไซด์ของนิกเกิลเป็นส่วนใหญ่ แต่เมื่อทำการเคลือบผิว พบว่าชั้นเคลือบ ที่ได้จะช่วยลดการเกิดออกไซด์ของนิกเกิลได้ โดยจะเกิดเป็นออกไซด์ของอะลูมิเนียมขึ้น เช่นเคียวกับที่พบในชิ้นงาน IN 738 ดังนั้นโลหะผสมพิเศษเนื้อพื้นนิกเกิลชนิด GTD 111 ที่เคลือบ และผ่านการอบเป็นเนื้อเดียวจึงสามารถต้านทานการเกิดออกซิเดชันได้ โดยการเกิดฟิล์มของ อะลูมิเนียมออกไซด์เป็นชั้นป้องกันการเกิดออกซิเดชัน โดยทำหน้าที่ขัดขวางการแพร่ของ ออกซิเจนและหน่วงการเกิดออกซิเดชัน

บทที่ 7 สรุปผลการทดลอง

- 7.1 ในการเคลือบผิวโลหะผสมพิเศษนิกเกิล IN738 และ GTD111 ด้วยวิธี pack aluminizing และ powder liquid coating สร้างชั้นเคลือบนิกเกิลอะลูมิในด์ที่มีความหนาในระดับ 50 ถึง 500 ใมโครเมตร โดยมีเฟส Ni,Al, เป็นหลักและมีเฟส NiAl, และ AlCr,ตกผลึกร่วม
- 7.2 การเกิดชั้นเคลือบในกระบวนการ pack aluminizing มีกลไกการแพร่เป็นกลไกสำคัญ ในการควบคุมการโตของชั้นเคลือบโดยการเกิดชั้นเคลือบเมื่อใช้อุณหภูมิ 800 และ 900 องศา เซลเซียส จะมีการแพร่ของอะลูมิเนียมเข้าสู่วัสดุพื้น สำหรับอุณหภูมิ 1000 องศาเซลเซียสมีการแพร่ ของนิกเกิลออกสู่ผิวชิ้นงานร่วมด้วย อุณหภูมิส่งผลถึงอัตราการโตของชั้นเคลือบโดยจะมีค่าเพิ่มขึ้น 1071.05, 4328.5 และ 24527 μ m²/h ในโลหะผสมพิเศษนิกเกิลชนิด IN738 เมื่อใช้อุณหภูมิ 800, 900 และ 1000 องศาเซลเซียสตามลำดับ สำหรับโลหะผสม GTD111 มีอัตราการโตของชั้นเคลือบ ต่ำกว่า IN738 คือ 3613.5 μ m²/h มื่อใช้อุณหภูมิ 900 องศาเซลเซียส
- 7.3 สภาวะที่เหมาะสมสำหรับการเคลือบด้วยกระบวนการ pack aluminizing ในงานวิจัยนี้ คือ การเคลือบที่อุณหภูมิ 900 องศาเซลเซียส โดยใช้เวลาการเคลือบ 4 ชั่วโมง และใช้อัตราการ ส่วนผสมของอะลูมิเนียมต่ออะลูมินาและแอมโมเนียมคลอไรค์เป็น 5 ต่อ 80 ต่อ 15 โดยน้ำหนัก
- 7.4 การเคลื่อบผิวด้วยวิธี powder liquid coating ที่อุณหภูมิ 1000 องศาเซลเซียสมีกล ใกการ เกิดชั้นเคลื่อบเกิดจากการแพร่ของนิกเกิลออกสู่ผิวชิ้นงาน โดยละลายเข้าสู่อะลูมิเนียมหลอมเหลว และเกิดการตกผลึกเป็นชั้นเคลื่อบที่รอยต่อของ โลหะพื้นกับอะลูมิเนียมเหลวจากนั้นนิกเกิลจะแพร่ ผ่านชั้นเคลื่อบเข้าสู่อะลูมิเนียมเหลวและเกิดชั้นเคลื่อบ โดยการเปียกของอะลูมิเนียมบนนิกเกิลเป็น ปัจจัยสำคัญที่ควบคุมลักษณะของชั้นเคลื่อบ การเกิดชั้นเคลื่อบที่สม่ำเสมอ ไปสามารถเกิดขึ้นได้โดย การเลือกใช้ผงอะลูมิเนียมขนาดเล็กและเลือกอัตราส่วนในการผสมกับผงอะลูมินาเพื่อให้เกิดการ กระจายตัวอย่างสม่ำเสมอ ชั้นเคลื่อบที่ได้จากการเคลื่อบด้วยวิธี powder liquid coating ประกอบด้วยเฟส Ni_2AI_3 เป็นหลัก โดยมีเฟส $NiAI_3$ และ $AICr_2$ ตกผลึก เช่นเดียวกับชั้นเคลื่อบที่ได้ จากวิธี pack aluminizing ทั้งในโลหะผสมพิเศษนิกเกิลชนิด IN738 และ GTD111
- 7.5 สภาวะที่เหมาะสมในการเคลือบ คือ อุณหภูมิ 1000 องศาเซลเซียส เวลา 2.25 ชั่วโมง และใช้ผงอะลูมิเนียมขนาด 3 ใมโครเมตรโดยมีอัตราส่วนของผงอะลูมิเนียมต่ออะลูมินา 7 ต่อ 3 โดยน้ำหนัก
- 7.6 เมื่อชิ้นงานผ่านการอบเป็นเนื้อเดียวที่อุณหภูมิ 1000 องศาเซลเซียส จะเกิดการแพร่ของ อะลูมิเนียมจากชั้นเคลือบเข้าสู่เนื้อพื้นโลหะผสมนิกเกิลทำให้สารประกอบ Ni₂Al₃ แตกตัวเป็น สารประกอบ NiAl ในการทดลองนี้พบว่า เวลาที่ใช้ในการอบเป็นเนื้อเดียวที่เหมาะสมคือ 10 ชั่วโบง
- 7.7 ชิ้นงานที่ผ่านการเคลือบผิวและการเคลือบผิวตามด้วยการอบเป็นเนื้อเคียวจะมีฟิล์ม อะลูมิเนียมออกไซด์ซึ่งมีความหนาแน่นสูงและป้องกันการแพร่ของออกซิเจนได้ดีเกิดขึ้นที่ผิวช่วย

เพิ่มความต้านทานการเกิดออกซิเดชันโดยฟิล์มอะลูมิเนียมออกไซด์นี้เกิดจากปฏิกริยาระหว่าง
อะลูมิเนียมในชั้นเคลือบกับออกซิเจนในบรรยากาศ สำหรับชิ้นงานที่ไม่ผ่านการเคลือบผิวพบว่ามี
ฟิล์มนิกเกิลออกไซด์จึงไม่สามารถยับยั้งการแพร่ของออกซิเจนและไม่เพิ่มความต้านทานการเกิด
ออกซิเดชัน

รายการอ้างอิง

- [1] ปัญญวัชร์ วังยาว. เอกสารประกอบ TECHNICAL TRAINING, วิศวกรรมงาน โลหะ สำหรับการใช้งานที่อุณหภูมิสูง. ศูนย์เทคโนโลยีโลหะและวัสคุแห่งชาติ) เอ็มเทค(, สำนักงานพัฒนาวิทยาศาสตร์และเทคโนโลยีแห่งชาติ, กระทรวงวิทยาศาสตร์และ เทคโนโลยี. 24 กุมภาพันธ์ 2548.
- [2] C.T. SIMS. SUPERALLOYS II. New York: Wiley, 1987.
- [3] ปัญญวัชร์ วังยาว. เอกสารประกอบการสอน วิชา High temperature Materials. ภาควิชา วิศวกรรมโลหะการ คณะวิศวกรรมศาสตร์ จฬาลงกรณ์มหาวิทยาลัย, 2548.
- [4] H. K. D. H. Bhadeshia. Nickel Based Superalloys. Available from:
 http://www.msm.cam.ac.uk/phase-trans/2003/Superalloys/superalloys.html [2006, May 12
- [5] C.T. SIMS and W.C. HAGEL. The Superalloys. New York: Wiley, 1972.
- [6] S.A. Sajjadi, S. Nategh. A High Temperature deformation mechanism map for the high performance Ni-base superalloy GTD-111. <u>Materials Science and Engineering A307.</u> (2001): 158-164
- [7] Y. Tsuchida, S. Kirihara and Y. Tomota. Functionally Graded Coating for Steels by Reaction Diffusion. <u>ISIJ International</u>, vol. 40 ,No. 2. (2000): 1029-1034
- [8] T. Sourmail. Coatings for Turbine Blades. Available from :
 http://www.msm.cam.ac.uk/phase-trans/2003/Superalloys/coatings/index.html [2006, May 12]
- [9] Crystal Structures of the Al-Ni System. Crystal Lattice Structures. Naval Research

 Laboratory, Materials Science and Technology Division, Washington DC. Available

 from: http://cst-www.nrl.navy.mil/lattice/alloys/alni.html [2007,Jan 20]
- [10] Z. Yu, D.D. Hass and H.N.G. Wadley. NiAl bond coats made by a directed vapor deposition approach. Materials Science and Engineering A394. (2005): 43-52.
- [11] T. Sourmail. Coatings for Turbine Blades. Available from:

 http://www.msm.cam.ac.uk/phase-trans/2003/Superalloys/coatings/index.html
 [2007,Jan 20]
- [12] A.M. Hodge and D.C. Dunand. Synthesis of nickel-aluminide forms by pack-aluminization of nickel foams. Intermetallics 9. (2001): 581-589.

- [13] Xin Ren, Fuhui Wang and Xin Wang. High-temperature oxidation and hot corrosion behaviors of the NiCr-CrAl coating on a nickel-based superalloy. Surface & Coatings Technology 198. (2005): 425-431.
- [14] Koji Murakami, Norihide Nishida, Kozo Osamura and Yo Tomata. Aluminization of high purity iron by powder liquid coating. <u>Acta Meterialia 52.</u> (2004): 1271-1281.
- [15] C. Houngninou, S. Chevalier and J.P. Larpin. Synthersis and characterisation of pack cemented aluminide coatings on metals. Applied Surface Science 236. (2004): 256-269.
- [16] S.A. Sajjadi, S. Nategh and Roderick I. L. Guthrie. Study of microstructure and mechanical properties of high performance Ni-base superalloy GTD-111. Materials Science and Engineering A325. (2002): 484-489
- [17] B. Grushko, W. Kowalski, D. Pavlyuchkov, B. Przepi'orzy'nski and M. Surowiec. A contribution to the Al–Ni–Cr phase diagram. <u>Journal of Alloys and Compound.</u>

 (ARTICLE IN PRESS)

Output ที่ได้จากโครงงานวิจัย

ข้อมูลจากการวิจัยนี้เป็นประโยชน์ต่อการพัฒนากระบวนการเคลือบผิวโลหะผสมพิเศษนิกเกิล ชนิด IN738 และ GTD111 โดยใช้ผงอะลูมิเนียมในการเคลือบผิวด้วยวิธี pack aluminizing และ powder liquid coating ทำให้ช่วยปรับปรุงความสามารถต้านทานการเกิดออกซิเดชันได้อย่างมี นัยสำคัญ ผลที่ได้จากงานวิจัยนี้สามารถนำไปใช้ได้จริงทั้งในการเคลือบผิวและการซ่อมแซมใน บางส่วนโดยอาศัยวิธีการสองวิธีข้างต้น งานวิจัยนี้ยังประสบความสำเร็จในการหาตัวแปรในการบวน การเคลือบที่เหมาะสมทั้งในวิธี pack aluminizing และ powder liquid coating อีกทั้งองค์ความรู้ที่ได้ สามารถใช้ในเผยแพร่ในการเรียนการสอนนิสิตระดับปริญญาบัณฑิต และบัณฑิตศึกษา ภาควิชา วิศวกรรมโลหการ คณะวิศวกรรมศาสตร์ จุฬาลงกรณ์มหาวิทยาลัย เนื่องจากเป็นองค์ความรู้ที่ได้เป็น องค์ความรู้ใหม่ ผู้วิจัยได้ส่งผลงานการวิจัยนี้เข้านำเสนอแบบบรรยายในที่ประชุมนานาชาติ Thailand Metallurgy Conference ซึ่งจะจัดขึ้นระหว่างวันที่ 1516 ตุลาคม 2550 ประเทศไทย และ The 17th International Federation for Heat Treatment and Surface Engineering (IFHTSE) Congress ซึ่ง จะจัดขึ้นระหว่างวันที่ 27-30 ตุลาคม 2551 ที่ประเทศญี่ปุ่น โดยงานวิจัยนี้ได้รับพิจารณาเข้าสู่ในรอบ สุดท้าย(จำนวน 10 ผลงาน)เพื่อคัดเลือกนักวิจัยรุ่นใหม่ดีเด่นของการประชุมวิชาการนี้ด้วย นอกจากนี้ ยังมีผลงานที่ตีพิมพ์แล้วและกำลังพิจารณาเพื่อตีพิมพ์ในวารสารตามเอกสารแนบ

ผลงานที่เผยแพร่

การประชุมวิชาการ

- Effect of temperature and time on pack aluminizing of nickel base superalloy grade Inconel
 S. Chansaksoong, P. Visuttipitukul, P. Wangyao, Thailand Metallurgy Conference 2007,
 Thailand
- 2. Feasibility study of surface modification of nickel base superalloys grade IN738 by aluminizing using powder liquid coating, N. Limvanutpong, P. Visuttipitukul, P. Wangyao, Thailand Metallurgy Conference 2007, Thailand
- 3. Aluminizing of Nickel-based Superalloys Grade IN 738 by Powder Liquid Coating, P.Visuttipitukul, N. Limvanutpong, P. Wangyao, the 17th International Federation for Heat Treatment and Surface Engineering (IFHTSE) Congress 2008, Japan
- 1. P.Visuttipitukul, N. Limvanutpong,V. Krongthong, P. Wangyao, Microstructural Characterization of Aluminum Powder Liquid Coating on IN738 Superalloy, *Journal of Metals, Materials and Minerals*, Vol. 17 No 1, 2007, 75-79, Impact factor -, อยู่ในฐานข้อมูล Cambridge Abstract.
- Aluminization of high purity nickel by powder liquid coating, P.Visuttipitukul, N.
 Limvanutpong, P.Wangyao, P.Sricharoenchai, Metallic Materials, Impact factor 1.3, (submitted on 5/9/2008)

Aluminizing of Nickel-based Superalloys Grade IN 738 by Powder Liquid Coating,
 P.Visuttipitukul, N. Limvanutpong, P.Wangyao, P.Sricharoenchai, Reviews on Advance
 Materials, Impact factor 1.3 (in process)